



**INSTITUTO LATINO-AMERICANO DE
CIÊNCIAS DA VIDA E DA NATUREZA**

**PROGRAMA DE PÓS-GRADUAÇÃO
EM BIODIVERSIDADE NEOTROPICAL**

**Terrenos baldios são um fator de risco para maior ocorrência e
densidade de *Aedes aegypti*?**

BIANCA MELLO CERATO MOHR

Foz do Iguaçu
2025



INSTITUTO LATINO-AMERICANO DE CIÊNCIAS
DA VIDA E DA NATUREZA

PROGRAMA DE PÓS-GRADUAÇÃO
EM BIODIVERSIDADE NEOTROPICAL

**Terrenos baldios são um fator de risco para maior ocorrência e
densidade de *Aedes aegypti*?**

BIANCA MELLO CERATO MOHR

Dissertação de mestrado apresentada ao Programa de Pós-Graduação Biodiversidade Neotropical, do Instituto Latino-Americano de Ciências da Vida e da Natureza, da Universidade Federal da Integração Latino-Americana, como requisito parcial à obtenção do título de Mestre em Ciências Biológicas.

Orientador: Prof. Dr. Wagner Antônio Chiba de Castro

Coorientador: Prof. Dr. André de Souza Leandro

Foz do Iguaçu
2025

BIANCA MELLO CERATO MOHR

Terrenos baldios são um fator de risco para maior ocorrência e densidade de *Aedes aegypti*?

Dissertação de mestrado apresentada ao Programa de Pós-Graduação em Biodiversidade Neotropical, do Instituto Latino-Americano de Ciências da Vida e da Natureza, da Universidade Federal da Integração Latino-Americana, como requisito parcial à obtenção do título de Mestre em Ciências Biológicas.

BANCA EXAMINADORA

Dr. Wagner Antonio Chiba de Castro
Orientador
UNILA

Dra. Mariana Rocha David
IOC/Fiocruz

Dra. Gleison Robson Desidério Gomes
UNILA

Foz do Iguaçu, 17 de dezembro de 2025.

Catálogo elaborado pelo Setor de Tratamento da Informação
Catálogo de Publicação na Fonte. UNILA - BIBLIOTECA LATINO-AMERICANA - CENTRAL

C411

Cerato-Mohr, Bianca Mello.

Terrenos baldios são um fator de risco para maior ocorrência e densidade de *Aedes aegypti*? / Bianca Mello Cerato-Mohr. - Foz do Iguaçu, 2025.
85 f.: il.

Dissertação (Mestrado) - Universidade Federal da Integração Latino-Americana, Instituto Latino-Americano de Ciências da Vida e da Natureza, Programa de Pós-graduação em Biodiversidade Neotropical. Foz do Iguaçu - PR, 2025.

Orientador: Wagner Antonio Chiba de Castro.

Coorientador: André de Souza Leandro.

1. Vetores de doença - Controle. 2. Epidemias - Vigilância entomológica. 3. Saúde coletiva - Saúde Única. 4. *Aedes aegypti* - Ocorrência. 5. *Aedes aegypti* - Incidência. I. Castro, Wagner Antonio Chiba de. II. Leandro, André de Souza. III. Título.

CDU 614:616-036.22

Dedico este trabalho a todos os agentes de combate a endemias do Centro de Controle de Zoonoses de Foz do Iguaçu.

AGRADECIMENTOS

Agradeço ao meu professor orientador Wagner Antonio Chiba de Castro, por estas e outras oportunidades dadas de bom coração em um momento da vida no qual os horizontes pareciam estar mais estreitos.

A todos os colegas do Centro de Controle de Zoonoses que auxiliaram desde o início ativamente com o projeto de mestrado, diga-se: Carol Martins (por todos os aportes incansáveis nos momentos de análise dos dados); ao Rosinei que me apoiou em momentos de dificuldades e permitiu minha continuidade nas aulas; à toda a equipe entomológica, diga-se Everton, Renatinho, Beatriz, Alessandra, Juliana e todos que participam na coleta incansável de dados, colocando o corpo e o suor em toda a cidade tornando possível ter um panorama de informações inigualável; à diretora Renata Defante por oferecer seu apoio sempre que se apresentava uma nova demanda e sempre apoiar aqueles que buscam conhecimento; ao Wagner Fabiano que disponibilizou os dados e todos os colegas da equipe de sinantrópicos que sempre ofereceram sua parceria; a todos os colegas de laboratório que trabalham incansavelmente na identificação das amostras coletadas em campo, diga-se: a grande professora Eva, ao Leandro, a Gisele e todas que estejam atualmente realizando este trabalho diário; e todos os demais colegas que por distração minha possam não ter sido mencionados aqui. A vocês, verdadeiramente, tudo.

Ao meu coorientador André de Souza Leandro por ser a principal referência para o desenvolvimento desta pesquisa e sempre aportar com ideias novas e insights.

Aos membros da banca pela disposição em participar desta avaliação final e permitirem este encerramento de ciclo.

Aos familiares, sendo estes a definição de sangue e de escolha, que oferecem o acolhimento em momentos de exaustão e compartilham a alegria das conquistas.

E aos colegas de curso que me deram apoio e oportunidade de compartilhar o desenvolvimento.

O fato de ele se tornar presidente da Galáxia era surpreendente, como também era o modo como abandonara seu cargo. Haveria uma razão para seu gesto? Não adiantaria perguntar-lhe – Zaphod jamais justificava o que ele fazia. Ele tornara a imprevisibilidade uma forma de arte.

*Douglas Adams, em
"O Guia do Mochileiro das Galáxias"*

CERATO-MOHR, Bianca M. **TERRENOS BALDIOS SÃO UM FATOR DE RISCO PARA MAIOR OCORRÊNCIA E DENSIDADE DE *Aedes aegypti*?** 2025. 46 páginas. Dissertação de mestrado do Programa de Pós-Graduação em Biodiversidade Neotropical – Universidade Federal da Integração Latino-Americana, Foz do Iguaçu, ano.

RESUMO

A dengue é uma doença monitorada e prevenida através do controle da população de vetores. A utilização de armadilhas, como adu traps e ovitrampa, está entre as principais estratégias para identificação e monitoramento do vetor *Aedes aegypti* e de seus *hotspots*, aliado ao uso de sistemas de monitoramento geográfico. No presente trabalho, avaliamos a relação entre terrenos baldios (TBs) e a ocorrência de mosquitos, utilizando as armadilhas entomológicas mencionadas e georreferenciamento. Ao todo, 227 ovitrampas e 268 adu traps foram lidas semanalmente em 9 regiões denominadas Unidades Geográficas Sentinelas (UGS), no município brasileiro tri fronteiriço de Foz do Iguaçu – PR. Os resultados foram utilizados para a elaboração dos índices de positividade e densidade de adultos (IPA e IDA), e para os índices de positividade da ovitrampa (IPO) e de densidade de ovos (IDO). Nosso resultado estatístico, calculado pelo modelo linear generalizado misto (GLMM), demonstra que a proporção de terrenos baldios por quarteirão está negativamente associada ao número de armadilhas adu traps positivas. Desta forma, com o aumento de terrenos baldios, diminui a incidência de mosquitos. Acreditamos que tal resultado está relacionado à preferência do mosquito *Aedes aegypti* por imóveis ocupados, onde há condições ecológicas ideais, tanto de abrigo, quanto de alimentação e reprodução. Não foram encontradas significâncias estatísticas entre a cobertura de TBs e os índices de densidade de adultos ou outros índices elaborados a partir da ovitrampa nesta investigação (IDA, IDO e IPO).

Palavras-chave: Vetor. Vigilância entomológica. Saúde Única. Ocorrência. Incidência.

CERATO-MOHR, Bianca M. *¿Terrenos baldíos vacantes son un factor de riesgo para una mayor ocurrencia y densidad de Aedes aegypti?* 2025. 46 páginas. Tesis de maestría del Programa de Posgrado en Biodiversidad Neotropical – Universidad Federal de la Integración Latinoamericana, Foz do Iguaçu, 2025.

RESUMEN

El dengue es una enfermedad que se monitorea y previene mediante el control de la población vectorial. El uso de trampas, como trampas para adultos y ovitrampas, se encuentra entre las principales estrategias para identificar y monitorear el vector Aedes aegypti y sus focos de infección, junto con el uso de sistemas de monitoreo geográfico. En este estudio, evaluamos la relación entre los lotes baldíos (LB) y la incidencia del mosquito mediante las trampas entomológicas y la georreferenciación mencionadas. En total, se leyeron semanalmente 227 ovitrampas y 268 trampas para adultos en 9 regiones designadas como Unidades Geográficas Centinela (UGC) en el municipio brasileño de Foz do Iguaçu, en la triple frontera. Los resultados se utilizaron para desarrollar los índices de positividad y densidad de adultos (API e IDA), el índice de positividad de ovitrampas (OPI) y el índice de densidad de huevos (EDI). Nuestros resultados estadísticos, calculados mediante el modelo lineal mixto generalizado (GLMM), demuestran que la proporción de lotes baldíos por manzana se asocia negativamente con el número de trampas para adultos positivas. Por lo tanto, con el aumento de terrenos baldíos, la incidencia de mosquitos disminuye. Creemos que este resultado se relaciona con la preferencia del mosquito Aedes aegypti por las propiedades ocupadas, donde existen condiciones ecológicas ideales para su refugio, alimentación y reproducción. En esta investigación, no se encontró significancia estadística entre la cobertura de tuberculosis y los índices de densidad de adultos u otros índices derivados de la ovitrampa (IDA, IDO e IPO).

Palabras clave: Vector. Vigilancia entomológica. Salud Única. Ocurrencia. Incidencia.

CERATO-MOHR, Bianca M. **Are Vacant Lots a Risk Factor for *Aedes aegypti* Higher Occurrence and Density?** 46 pages. Master's thesis from the Postgraduate Program in Neotropical Biodiversity – Federal University of Latin American Integration, Foz do Iguaçu, 2025.

ABSTRACT

*Dengue fever is a disease that is monitored and prevented through vector population control. The use of traps, such as adult traps and ovitraps, is among the main strategies for identifying and monitoring the *Aedes aegypti* vector and its hotspots, along with the use of geographic monitoring systems. In this study, we evaluated the relationship between vacant lots (VLs) and mosquito occurrence using the aforementioned entomological traps and georeferencing. In total, 227 ovitraps and 268 adult traps were read weekly in 9 regions designated as Sentinel Geographic Units (SGUs) in the tri-border Brazilian municipality of Foz do Iguaçu – PR. The results were used to develop adult positivity and density indices (API and IDA), and ovitrap positivity index (OPI) and egg density index (EDI). Our statistical results, calculated using the generalized linear mixed model (GLMM), demonstrate that the proportion of vacant lots per block is negatively associated with the number of positive adult traps. Thus, with the increase in vacant lots, the incidence of mosquitoes decreases. We believe that this result is related to the preference of the *Aedes aegypti* mosquito for occupied properties, where there are ideal ecological conditions for shelter, feeding, and reproduction. No statistical significance was found between TB coverage and adult density indices or other indices derived from the ovitrap in this investigation (IDA, IDO, and IPO).*

Keywords: Vector. Entomological surveillance. One Health. Occurrence. Incidence.

LISTA DE ILUSTRAÇÕES

Imagem 1 – Estágios de desenvolvimento de <i>Aedes aegypti</i>	22
Imagem 2 – Armadilhas utilizadas no monitoramento de <i>Aedes aegypti</i>	24
Imagem 3 – Localização das UGS no município	31
Imagem 4 – Delimitação de terrenos baldios dentro das UGS	32
Imagem 5 – Diferentes espaços categorizados como terrenos baldios	33
Imagem 6 – Regressão linear ilustrativa	36

LISTA DE TABELAS

Tabela 1 – Total de terrenos baldios por UGS	35
Tabela 2 – Resultados dos modelos lineares generalizados mistos	36

LISTA DE ABREVIATURAS E SIGLAS

TB	Terreno Baldio
UGS	Unidade Geográfica Sentinela
GLMMs	Modelos Lineares Mistos Generalizados

SUMÁRIO

1 INTRODUÇÃO	19
2 OBJETIVOS	29
3 METODOLOGIA	30
4 ANÁLISES ESTATÍSTICAS	34
5 RESULTADOS	35
6 DISCUSSÃO	38
7 REFERÊNCIAS	41
8 ANEXO	47

1 INTRODUÇÃO

1.1 *One Health*

A abordagem em "Saúde Única" é uma estratégia integrada e unificadora que visa equilibrar e otimizar de forma sustentável a saúde de pessoas, animais e ecossistemas (OHHLEP *et al.* 2022). Este conceito é mundialmente conhecido e tem a finalidade de melhor prevenir e se preparar para atuais e futuros desafios de saúde, especificamente através da interface humano-animal-meio ambiente (PAN AMERICAN HEALTH ORGANIZATION, 2021). Esta interface tem ganhado relevância e destaque desde a pandemia do Sars-Covid-19 (LEFRANÇOIS *et al.* 2022) e o monitoramento dos fatores pode ser feito através de índices de qualidade que já são elaborados atualmente por diversos municípios (DE MOURA *et al.* 2022). Mudanças globais recentes em sistemas socioecológicos causadas pelo aumento do consumo, o crescimento urbano descontrolado, a deflorestação, a destruição de habitats e conseqüente declínio da biodiversidade, tornaram o contato entre diferentes espécies, cada vez mais provável (PAN AMERICAN HEALTH ORGANIZATION, 2021). Isto aumenta a exposição a doenças de origem animal e patógenos transmitidos por vetores, como a dengue, que estão se tornando grandes preocupações da saúde pública (PROCOPIO *et al.* 2024). Na aplicação do conceito *One Health*, o monitoramento de enfermidades de origem animal está entre as principais linhas de frente, sendo um passo crítico para a aplicação deste sistema, incorporando a vigilância sobre microrganismos, vetores, hospedeiros e meio ambiente (PAN AMERICAN HEALTH ORGANIZATION, 2021). Perante os fatos, a política "One Health" propõe seis linhas de ações estratégicas, da qual a primeira é:

“Realizar análise e mapeamento das interações complexas entre atores e processos nos campos da saúde humana, animal, vegetal e ambiental em contextos nacionais específicos.”

PAN AMERICAN HEALTH ORGANIZATION, 2021

Em particular, a identificação de fatores ambientais essenciais para a evolução e dinâmica dos vírus, hospedeiros e vetores são um elemento crucial para o manejo da dengue contexto das futuras mudanças climáticas (PROCOPIO *et al.* 2024), além de outras arboviroses como zika vírus e a chikungunya.

1.2 Dengue

A dengue é uma infecção arboviral hiperendêmica em climas tropicais e subtropicais (KULARATNE & DAGULAMA, 2022). Em 2024, os casos de dengue bateram recordes na América do Sul, com um total de 7.861.445 casos suspeitos, 3.5 milhões de confirmados e mais de 1.000 mortes, levando diversos países a declarar estado de emergência (LY, 2024). Se trata de uma doença febril com manifestações clínicas que variam desde infecção assintomática até infecção grave causando disfunção de diversos órgãos. É uma das infecções causadas por vírus transmitidos por mosquitos mais importantes e de crescimento mais rápido no mundo atualmente, e uma doença de grande preocupação para a saúde pública devido ao potencial desfecho letal (KULARATNE & DAGULAMA, 2022).

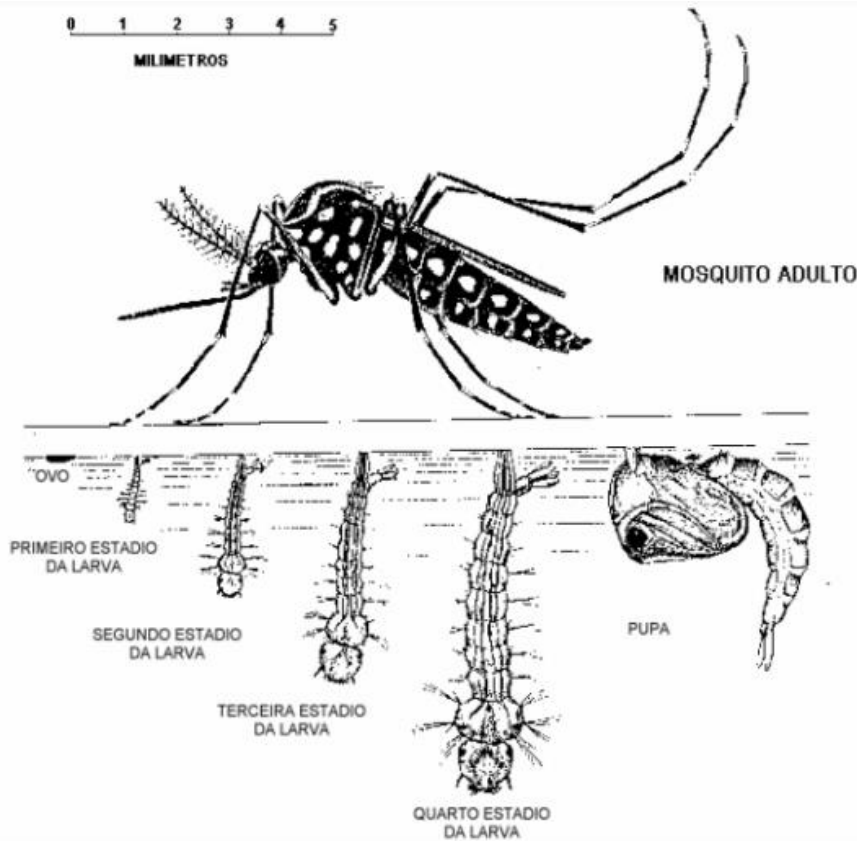
A doença é causada por um arbovírus do gênero flavivírus que se replica no organismo através da exocitose do material genético diretamente dentro das células do hospedeiro (BARTH, 2010). Com o aumento da infecção surgem os primeiros sintomas da doença. Diversas pessoas podem ser assintomáticas, porém o desenvolvimento da enfermidade é um processo multifatorial e não pode ser previsto com precisão, podendo apresentar febre, dor no corpo e nas articulações, dor atrás dos olhos, mal-estar, falta de apetite, dor de cabeça ou manchas vermelhas no corpo (AGÊNCIA GOV, 2025). Existem quatro sorotipos comuns: DENV-1, DENV-2, DENV-3 e DENV-4, e todos podem causar tanto a forma clássica da doença quanto formas mais graves. Após a infecção por um dos sorotipos do vírus, a pessoa adquire imunidade *apenas* para aquele sorotipo específico. Portanto, é possível contrair dengue mais de uma vez, sendo a reinfecção com novo sorotipo capaz de resultar em agravamento da doença devido ao aumento dependente de anticorpos (PINTADO-SILVA & FERNANDEZ-SESMA, 2023). Por se tratar de uma arbovirose, é um vírus transmitido principalmente por artrópodes e se mantém na natureza pela multiplicação em mosquitos hematófagos do gênero *Aedes* sp.

1.3 Vetor

A dengue é um vírus transmitido essencialmente pelas espécies *Aedes aegypti* e *Aedes albopictus*. Ao emergirem da pupa para a forma alada, estes mosquitos se alimentam essencialmente de plantas. Ao aproximar-se do período fértil, apenas a fêmea passa a alimentar-se de sangue para amadurecimento de seus ovócitos, permanecendo o macho no hábito fitófago durante toda sua vida (WANJIKU *et al.*, 2021). *Aedes aegypti* chegou ao continente americano através de embarcações no período da colonização. Esta espécie é proveniente da região da Etiópia e possui adaptação a áreas urbanas com alta densidade populacional, favorecendo-se especialmente de áreas de ocupação

desamparada. *Aedes albopictus*, também conhecido como “tigre asiático”, é mais comum em áreas urbanas rurais e semi-silvestres. Estes mosquitos transportam o vírus de um humano contaminado para um sadio, através da picada da fêmea (DE ALMEIDA *et al.*, 2025). Contudo, devido à adaptação de *Aedes aegypti* para regiões urbanas e ao hábito hematófago da fêmea com preferência pelo sangue humano, a presente pesquisa é focada em *Aedes aegypti*.

Esta espécie é capaz de depositar seus ovos em uma ampla variedade de tipos de recipientes artificiais, podendo utilizar desde pneus a vasos de plantas, vasos plásticos, ralos, piscinas, caixas d'água (DA SILVA *et al.*, 2006; DE MENDONÇA *et al.*, 2011), além de depósitos naturais, como bromélias e ocos de árvores. Os ovos das espécies de *Aedes* sp. são depositados nas paredes dos criadouros, e tem aproximadamente 1mm de comprimento, sendo brancos no momento da postura. Porém, em contato com o ar mudam de cor rapidamente, tornando-se pretos. Após o desenvolvimento do embrião, os ovos permanecem viáveis por aproximadamente um ano fora da água. Ao entrarem em contato com a água, ocorre a eclosão em poucos minutos, liberando a larva de primeiro estágio (Imagem 1). Nesta etapa, o tamanho corporal é influenciado pela temperatura e disponibilidade de alimentos em seu meio aquático (DAVID *et al.* 2021). A larva passa por quatro estágios e evolui para a forma de pupa, onde a alimentação cessa. Após um a dois dias de incubação, emerge de dentro da pupa o mosquito em sua forma alada. Um mosquito infectado é capaz de transmitir o arbovírus enquanto viver (FIOCRUZ, s.d).



Fonte: SUCEN

Imagem 1: estágios de desenvolvimento de *Aedes aegypti*. Direitos de imagem: Prefeitura Municipal de Ribeirão Preto, Secretaria da Saúde, Divisão de Vigilância Ambiental em Saúde.

1.4 Vigilância em saúde

Por se tratar de uma arbovirose, o principal meio de prevenção à dengue é feito através do controle da população de vetores. Isto ocorre devido a fatores como a baixa cobertura vacinal (ano referência: 2025) e a baixa eficácia de medicamentos profiláticos e terapêuticos para combate ao arbovírus (LEANDRO *et al.*, 2023). Em 2025 a Anvisa aprovou o uso da vacina da dengue para pessoas na faixa etária de 12 a 59 anos, com expectativa para expandir o acesso em 2026. A nova vacina é produzida com vírus atenuado e aplicada em dose única para proteção contra os quatro sorotipos da dengue (MINISTÉRIO DA SAÚDE, 2025).

O Instituto Butantan, responsável pela fabricação da nova vacina Butantan-DV, já possui expectativa de expandir a faixa etária de vacinação, tanto para o público pediátrico quanto para aquele acima de 60 anos (INSTITUTO BUTANTAN, 2025). Contudo, o Ministério da Saúde reforça que o combate ao *Aedes aegypti* deve continuar em todo o país (MINISTÉRIO DA SAÚDE, 2025) pois a dengue continua sendo um dos

principais problemas de saúde pública no mundo (BRASIL, 2002), com números crescentes de casos e bilhões de pessoas ameaçadas (FOREMAN et al. 2018). Desta forma, a associação entre a vigilância em saúde e o controle do vetor, permanece sendo a principal estratégia para mitigar surtos de dengue (LEANDRO et al., 2023).

No Brasil, a vigilância epidemiológica baseia-se em inspeções domiciliares periódicas realizadas pelos agentes de endemias, para identificar a presença de recipientes com larvas e potenciais criadouros, direcionando as ações de controle na forma de retirada destes recipientes ou tratamento químico dos mesmos (CODEÇO et al., 2015). No entanto, estas medidas a longo prazo são inviáveis em áreas metropolitanas (LEANDRO et al., 2022), sendo a identificação de áreas prioritárias (*hotspots*) para os vetores da dengue, um caminho promissor para a diminuição dos surtos (DZUL-MANZANILLA et al., 2021).

1.5 Armadilhas de monitoramento

Dentre as principais estratégias para identificação de áreas prioritárias para controle da dengue e o monitoramento da população de *Aedes aegypti* está a utilização de armadilhas de captura de mosquito (DA SILVA et al., 2021). As armadilhas são alternativas promissoras para a identificação da presença de *Aedes aegypti* sendo mais sensíveis à detecção do que as investigações larvais em domicílio (CODEÇO, et al. 2015). Estas armadilhas conseguem capturar mosquitos nas suas diferentes etapas do ciclo de vida como no estágio adulto, ou no estágio imaturo na forma de ovos, larvas e pupas.

Um exemplo de armadilha para captura de adulto é a Adultrap. A Adultrap é uma armadilha composta por uma tela que contém água de baixo de um filtro em seu interior com um espaço para passagem de indivíduos alados acima, apresentando maior especificidade para captura de fêmeas de *Aedes aegypti* (DONATTI & GOMES, 2007; GOMES et al., 2007). A armadilha de oviposição ou ovitrampa é uma armadilha para captura de imaturos, constituída por um pote plástico preto, com uma palheta de madeira retangular posicionada internamente, onde é colocada água da torneira até a sua metade (FAY & ELIASON, 1966). A água cobre em parte a palheta, que possui uma textura atrativa para a fêmea fértil depositar seus ovos (Imagem 2).



Imagem 2: Armadilhas utilizadas para captura e monitoramento da população de *Aedes aegypti*. À esquerda: Ovitrapa; à direita: Adultrap®. Fonte: Centro de Controle de Zoonoses Dr. Dorival Jorge Junior, 2024.

Ambas se baseiam na atração da fêmea para locais sombreados, objetos de cor e forma escurecida, preferencialmente próximo aos recipientes contendo água, simulando condição adequada para repouso ou abrigo, após a alimentação sanguínea e antes da oviposição (GOMES, *et al.* 2007). Ambas utilizam água como isca atrativa. Em um estudo realizado por Donatti e Gomes (2007) foi demonstrada que a Adultrap é capaz de capturar *A. aegypti*, sendo 75,8% do total de Culicídeos compostos por fêmeas adultas da espécie presentes nas armadilhas monitoradas em laboratório. Já a especificidade para capturar formas adultas de *Aedes aegypti*, em ambiente domiciliar urbano, foi comprovada por Gomes e colaboradores (2007) tendo como parâmetro de referência o resultado das capturas feitas com o método de aspiração. A Adultrap é efetiva para predição de infestação predial (IP) por adultos de *Aedes aegypti* (GOMES *et al.* 2008) sendo comprovada sua eficácia na captura em campo (GOMES *et al.* 2007). Já a ovitrapa é utilizada desde 1965 nas ações de monitoramento por ser uma armadilha livre de patente, de baixo custo e com alta sensibilidade em períodos de baixa infestação de mosquitos (FAY & ELIASON, 1966; MINISTÉRIO DA SAÚDE, 2009; CODEÇO *et al.* 2015). O sucesso da implementação de qualquer programa de vigilância para artrópodes de importância médica depende muito da sensibilidade dos métodos empregados (BRAGA *et al.* 2000). Quando os níveis de infestação estão baixos, ovitrapas são mais sensíveis para detectar *Aedes aegypti* do que a pesquisa larvária (CODEÇO *et al.* 2015). A sensibilidade, portanto, refere-se à captura de

indivíduos da população mesmo com baixa incidência do mosquito. Silva *et al.* (2021) observou que a ovitrampa captura maior quantidade de ovos em comparação com outras armadilhas de oviposição, obtendo um Índice de Positividade de Ovitampa igual a 100%. Armadilhas de ovos e imaturos, assim como pesquisas larvárias, são sensíveis para detectar a presença do mosquito, mas não refletem bem a população de adultos diretamente responsável pela transmissão de arboviroses. Desta forma, apesar de índices baseados na coleta de mosquitos imaturos enfrentarem críticas devido ao custo da realização dos levantamentos a serem realizados com a frequência necessária para uma vigilância adequada (LEANDRO, *et al.* 2022), armadilhas combinando a captura de ovos e adultos podem ser adotadas como uma ferramenta eficiente no monitoramento de *Aedes aegypti* e na previsão de surtos de arboviroses (SILVA *et al.* 2021).

1.6 Índices de Infestação

Os índices de infestação são medidas comumente utilizadas no monitoramento da população de mosquitos para tornar resultados de diferentes estudos comparáveis entre si. Há diversos índices utilizados nos estudos da população de *Aedes aegypti*, entre eles, índices larvários como: o Índice de Breteau (BI) e o Índice de Infestação Predial (IIP); Índices para mosquitos adultos: positividade (IPA), densidade (IDA) e mosquito *per inhabitant índice* (MII); e Índices para leitura de ovos a partir de ovitrampas: positividade (IPO) e densidade (IDO) (LEANDRO *et al.* 2022). Os índices de positividade (IPA e IPO) são considerados uma medida qualitativa, definida através da proporção de armadilhas com ao menos uma captura (mosquito ou ovo), em relação ao total de unidades instaladas. Já os índices de densidade (IDA e IDO) são considerados uma medida quantitativa ou de abundância, calculados a partir do número de indivíduos (mosquito ou ovo) capturados dentre o total de armadilhas inspecionadas em uma determinada área (CODEÇO *et al.*, 2015).

As informações geradas são utilizadas para alimentar o banco de dados do CCZ – Foz, que posteriormente gera os índices de positividade e densidade de adultos (IPA e IDA), e índices de positividade da ovitrampa (IPO) e de densidade de ovos (IDO). A leitura é imediatamente registrada no sistema através do uso de aplicativos especializados permitindo a atualização dos dados em tempo real. O índice de positividade é definido através da proporção de armadilhas *com ao menos uma captura* (mosquito ou ovo), em relação ao total de unidades instaladas. Já os índices de densidade são considerados uma medida quantitativa ou de “abundância”, calculado a partir do número de indivíduos

(mosquito ou ovo) capturados dentre o total de armadilhas inspecionadas em uma determinada área (CODEÇO *et al.*, 2015). Desta forma, o Índice de Positividade de Adultos (IPA) é igual ao total de armadilhas positivas, dividido pelo número de armadilhas lidas, multiplicado por 100, ou da mesma forma, é igual à “porcentagem de armadilhas adultrap positivas dentre as instaladas”. O Índice de Densidade de Adultos (IDA) é igual ao total de mosquitos capturados, dividido pelo total de armadilhas lidas, multiplicado por 100. E da mesma forma para o Índice de Positividade de Ovitampa (IPO) e o Índice de Densidade de Ovitampa (IDO) realizando a contagem de armadilhas positivas para presença de ovos assim como a contagem da quantidade dos mesmos.

1.7 Terrenos Baldios

Um terreno baldio é um terreno abandonado, sem manutenção, infraestrutura ou edificações, que não é utilizado para nenhum propósito específico (ANVERSA, 2025). A palavra “baldio” vem do árabe “bátíl”, que significa “inútil, vão”. Estes espaços são comumente identificados como locais de infestação de mosquitos em bairros residenciais por serem propensos ao acúmulo de lixo e entulhos, que favorecem a reprodução de vetores (SALVI *et al.* 2021). Além disto, pesquisas realizadas anteriormente coletaram uma quantidade significativa de imaturos de *Aedes aegypti* em terrenos baldios (74%), comparados a outros ambientes (BAAK-BAAK *et al.*, 2014), pois a vegetação abundante permite ocultar inúmeros recipientes descartados, pequenos e grandes, que acumulam água e servem como locais de desenvolvimento de mosquitos. Outros estudos indicaram que a distribuição de *Aedes aegypti* pode ser explicada por 3 variáveis, entre elas: a porcentagem de cobertura de solo exposto (44,9%), a porcentagem de cobertura de urbanização (13,5%) e a distribuição de água (11,6%) (ESPINOSA *et al.* 2016).

Os terrenos baldios possuem diversas características, como solo descoberto ou ampla cobertura vegetal, que podem ser atrativas para o aumento da incidência de mosquito e identificar se estes espaços estão funcionando como *hotspots* da população de *Aedes aegypti* pode colaborar para novas medidas de prevenção. O aumento da ocorrência de adultos de *Aedes aegypti* em resposta à urbanização já é amplamente conhecida (MONTGOMERY *et al.*, 2025), porém apesar dos inúmeros trabalhos existentes que lidam com o reconhecimento espacial de sua população (GARELLI *et al.*, 2013; ESPINOSA *et al.*, 2016; OLIVEIRA & BARGOS, 2022; LEANDRO *et al.*, 2023), o monitoramento de mosquitos em imóveis nas proximidades de terrenos baldios (TBs)

com o uso de armadilhas, visando identificar estes espaços vazios como áreas prioritárias de *Aedes aegypti*, ainda não foi realizado.

1.8 Geoprocessamento

Outra ferramenta importante que auxilia na identificação de áreas prioritárias para a população de *Aedes aegypti*, baseia-se no uso de sistemas de referenciamento geográfico (BARCELLOS *et al.*, 2005; FLAUZINO, SOUZA-SANTOS & OLIVEIRA, 2009; VALLADARES *et al.*, 2019). O geoprocessamento é o conjunto de técnicas de coleta, tratamento e exibição de informações referenciadas em um determinado espaço geográfico. Destacam-se: sensoriamento remoto, digitalização dos dados, automação de tarefas cartográficas, Sistema de Posicionamento Global (GPS) e Sistema de Informação Geográfica (SIG) (HINO *et al.* 2006). O monitoramento geográfico de doenças tem se desenvolvido fortemente no território nacional durante a última década para diferentes enfermidades, como parte das estratégias de saúde pública (BARCELLOS & RAMALHO, 2002; HINO *et al.*, 2006; BARCELLOS *et al.*, 2008; GUIMARÃES, 2016; LEANDRO *et al.*, 2021; OLIVEIRA & BARGOS, 2022; LEANDRO *et al.*, 2023), principalmente em decorrência da pandemia da covid-19 (SARS-CoV-2) (LIMA *et al.*, 2022). A diversidade de estratégias de georreferenciamento de dados no Brasil é resultado das condições particulares de desenvolvimento de projetos nos municípios, o que influi na eficiência e na precisão da localização dos eventos em saúde. As bases cartográficas digitais são muitas vezes o produto final de projetos de geoprocessamento de diversos setores, mas constituem apenas o ponto de partida de análises espaciais em saúde realizadas por outros pesquisadores (BARCELLOS *et al.* 2008).

As bases de dados podem ser construídas utilizando os dados de armadilhas de captura e monitoramento de vetores (tais quais as adultrap e ovitrampa, apresentadas anteriormente) com a atualização dos dados em uma plataforma que contenha a localização destes resultados (LEANDRO *et al.*, 2023) para posterior integração dos mesmos em mapas bidimensionais. Desta forma, os sistemas de referenciamento geográfico auxiliam na identificação de *hotspots* dos mosquitos da dengue, que permitem concentrar os esforços da vigilância entomológica no controle de vetores (VALLADARES *et al.* 2019). Muitos trabalhos já utilizaram as ferramentas de análises espaciais no monitoramento da dengue (BARCELLOS *et al.* 2005; FLAUZINO, SOUZA-SANTOS & OLIVEIRA 2009; VALLADARES *et al.* 2019). No Brasil, o setor de Saúde é detentor de um extenso banco de dados, que abrange dados vitais (BARCELLOS *et al.*

2008). O Sistema de Informação de Agravos de Notificação (Sinan) é alimentado, principalmente, pela investigação de casos de doenças e agravos que constam da lista nacional de doenças de notificação compulsória descritas na Portaria de Consolidação nº 4, de 28 de setembro de 2017 (MINISTÉRIO DA SAÚDE, 2017).

Apesar dos diversos estudos realizados à procura de um padrão espacial para a ocorrência de *Aedes aegypti* (ESPINOSA *et al.* 2016; GARELLI *et al.* 2013; LEANDRO *et al.*, 2023; OLIVERIA & BARGOS 2022), a abordagem priorizando terrenos vazios, apenas com mato, entulhos e/ou desocupados, como *hotspots* destas populações, é escassa. Como parte de uma crença popular, as pessoas tendem a acreditar que a proximidade a estas áreas provoca a infestação de mosquitos. Caso a incidência elevada de *Aedes aegypti* seja demonstrada, isto passa a ser parte importante de novas estratégias para controle da disseminação dos vetores.

2 OBJETIVOS

2.1 Geral

Avaliar a relação entre terrenos baldios e a ocorrência de mosquitos integrando dados entomológicos e metodologias de georreferenciamento. A hipótese principal é que quanto maior a cobertura de terrenos baldios em bairros urbanos, maior será a presença e abundância de mosquitos adultos e ovos capturados nos imóveis próximos. Pergunta norteadora: A ocorrência de *Aedes aegypti* aumenta em locais próximos a maiores áreas de terrenos baldios?

2.2 Específicos

Realizar o reconhecimento de terrenos baldios no território dentro de Unidades Geográficas Sentinela (UGS) de Foz do Iguaçu-PR.

Determinar o percentual de áreas de terrenos baldios dentro das UGS.

Avaliar a influência de terrenos baldios na população de *Aedes aegypti* próxima a estes espaços, a partir dos dados coletados pelas armadilhas presentes no mesmo bairro.

3 METODOLOGIA

3.1 Área de estudo

Foz do Iguaçu (25°30'58" S, 54°35'07" O), localizada no estado do Paraná – BR, se encontra em uma área tri-fronteiriça com os países da Argentina e do Paraguay. Esta região constitui uma área epidemiológica crítica com intenso fluxo de pessoas entre os países (LEANDRO *et al.*, 2023). A cidade se encontra em uma região de clima subtropical úmido mesotérmico, de acordo com a classificação de Köppen-Geiger, com verões quentes e chuvas abundantes ao longo do ano. As temperaturas mais elevadas ocorrem de novembro a março, sendo janeiro o mês mais quente do ano no município.

3.2 Unidades Geográficas Sentinelas

Para monitorar o mosquito da dengue, o município possui adultraps instaladas em áreas de 1 km² chamadas “Unidades Geográficas Sentinelas” (UGS). As UGS são áreas menores representativas dos diferentes estratos, que são uma estratégia de particionamento do território realizada pelo CCZ – Foz, para organizar a rotina de monitoramento da vigilância epidemiológica no campo (LEANDRO *et al.*, 2024). Cada UGS possui 25 armadilhas espalhadas pelos quarteirões que as compõem, em imóveis residenciais ou comerciais. A leitura das armadilhas é realizada semanalmente pela equipe entomológica do CCZ – Foz, capacitada para manejo e instalação das mesmas. Nove das doze UGS foram selecionadas para análise após tratamento dos dados.

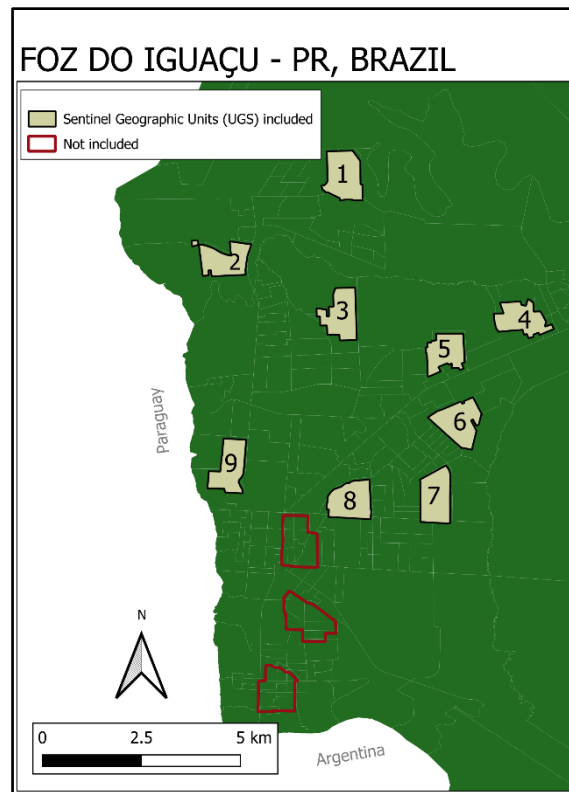


Imagem 3. Localização das Unidades Geográficas Sentinelas no município de Foz do Iguaçu, PR e Unidades 1 a 9 inclusas na pesquisa.

3.3 Aquisição e tratamento dos dados

Os dados de leitura das armadilhas Adultrap e ovitrampa foram disponibilizados pelo Centro de Controle de Zoonoses Dr. Dorival Jorge Júnior (CCZ - Foz), juntamente com o arquivo de camadas dos bairros e a delimitação das Unidades Geográficas Sentinelas (UGS). Os dados das armadilhas foram organizados na forma de presença e abundância de mosquitos e ovos capturados pelas armadilhas. Dados espaciais do município foram adquiridos gratuitamente via Google Satélite através do serviço *Quick Map Services* do software QGIS 3.34.4. Um raio de 100 metros de distância sobre as UGS foi traçado, considerando o deslocamento médio da população de *Aedes aegypti* segundo MOORE & BROWN (2022). Uma camada poligonal da área dos terrenos baldios localizados dentro do *buffer* das nove UGS foi construída para este estudo.

Após a delimitação dos TBs, foi feito um recorte dos bairros dentro dos raios das UGSs e calculado os metros quadrados de cobertura proporcional com a calculadora de campo. A ferramenta de união por atributos foi utilizada para unificar os dados na tabela de uma nova camada. Em seguida, os dados foram baixados, a quantidade

de TBs por UGS foi identificada e a cobertura total de lotes vazios foi dividida pelo tamanho dos quarteirões para obter a porcentagem média total.

3.4 Identificação de terrenos baldios

Os critérios para categorização de áreas como terrenos baldios (TBs) foram: todas as áreas não florestais, com no máximo 1/2 de cobertura arbórea e no máximo 1/4 de cobertura por telhado (podendo indicar depósitos, casebres, choupanas ou galpões de armazenamento) que não indiquem residência. Devidas frações foram decididas após observação dos padrões territoriais de ocupação do município. Todas as decisões foram feitas consultando o mapa de lotes dos quarteirões. Importante observar que a pesquisa envolve a abordagem “One Health” e, portanto, a base de reconhecimento para categorizar um lote como terreno baldio é feita a partir do *uso* do espaço, observado a partir das imagens de satélite. Este critério se aplica em casos de terrenos geminados ou áreas não demarcadas na camada vetorial. Em todos os casos, prevalece o critério de uso evidenciado no território.



Imagem 4. Delimitação de terrenos baldios da UGS Porto Belo dentro de um raio de 100 metros. Fonte: QGIS, 2025.

3.5 Janela temporal

O período epidemiológico entre o ano de 2022 e 2023 conteve a maior epidemia de dengue de Foz do Iguaçu, com mais de 55 mil casos confirmados da doença e 22 mortes (FOZ DO IGUAÇU, 2023). Este período foi iniciado em 31 de julho de 2022 e teve duração de 12 meses, ou 52 semanas. Entre 2022 e 2023 houveram mais de 60 denúncias realizadas no município a respeito de terrenos baldios sem

manutenção ou com acúmulo de lixo (informação disponibilizada pelo CCZ – Foz). O semestre de maior incidência de dengue dentro deste período pode ser considerado uma janela de tempo apropriada para realização do estudo, visto que é conhecida a relação entre aumento de casos de dengue e aumento da população de vetores (LEANDRO *et al.*, 2022). As armadilhas estão sendo aplicadas desde 2017 para o sistema de monitoramento de *Aedes aegypti* proporcionado pela secretaria de saúde através do centro de controle de zoonoses do município (LEANDRO, *et al.*, 2023). Desta maneira, selecionamos o período de dezembro de 2022 a maio de 2023, que engloba o início da estação do verão e o final da estação de outono, para realizar a somatória das leituras mensais, num achatamento temporal, para comparação com os dados espaciais.



Imagem 5. Tracejado laranja: delimitação de diferentes espaços identificados como terrenos baldios.

4 ANÁLISES ESTATÍSTICAS

Para evitar distorções analíticas acerca de diferentes áreas de cobertura das UGS, o cálculo do tamanho dos terrenos baldios foi feito com base nos quarteirões, utilizando a proporção de m² presente em cada um. Os valores diários das leituras foram somados para cada quadra e aquelas que não possuíam terrenos baldios foram descartados da análise, assim como os quarteirões com terrenos baldios, porém sem armadilhas. Para cada somatória, a quantidade de leituras foi identificada, para observar a representatividade dos resultados.

Para avaliar a relação da infestação de *Aedes aegypti* com a cobertura de terrenos baldios, computamos Modelos Lineares Mistos Generalizados (GLMMs) utilizando a função `glmer()` do pacote `lme4` (BATES *et al.*, 2015), incorporando pseudo-replicação temporal e espacial, para controlar uma possível dependência dos dados. A inclusão do intercepto aleatório temporal permitiu capturar variações temporais ou ambientais ao longo do tempo que poderiam influenciar a resposta, independentemente das variáveis explicativas fixas. Já o intercepto aleatório do local das armadilhas, considerou variações espaciais entre os quarteirões, controlando possíveis efeitos de localização geográfica. Em cada modelo, abordamos separadamente as variáveis resposta: 1) número de mosquitos adultos por armadilha, 2) número de armadilhas positivas de adutrap, 3) número de ovos por armadilha e 4) número de armadilhas positivas de ovitrampas, em distribuições Poisson ou binomial negativa (quando na presença de superdispersão dos dados). A proporção de terrenos baldios em cada quarteirão foi tratada como efeito fixo na variável explicativa. Para considerar a dependência espacial e temporal presente nos dados, utilizamos uma estrutura de efeitos aleatórios definida de modo a refletir a hierarquia e agrupamentos naturais do experimento (CRAWLEY, 2014). A estrutura de efeito aleatório temporal incluiu cada data de reamostragem (6 níveis, correspondentes a cada mês experimental) e a UGS em que se localizava a armadilha (9 níveis, correspondentes a cada UGS). Todas as análises foram realizadas utilizando o software R, versão 4.3.3 (R Core Team, 2024).

5 RESULTADOS

5.1 Reconhecimento de terrenos baldios dentro das UGS

Nove UGS foram analisadas – Vila C; Porto Belo; Jardim Ipê; Lagoa Dourada; Três Bandeiras; Portal da Foz; Morumbi; Campos do Iguaçu e Jardim América – totalizando 1306 TBs identificados. Cento e quarenta e oito (148) quarteirões possuíam TBs e foram incluídos nas análises de GLMM, onde havia o monitoramento de *Aedes aegypti* através de 227 ovitrampas e 268 adu traps. A média de proporção de terreno baldio por quarteirão variou de 2,7% a 18,31% entre as UGS. A UGS Porto Belo obteve quase 50% de seu território coberto por terrenos baldios, enquanto a UGS Campos do Iguaçu apresentou menor cobertura total de TBs entre todas as unidades, integrando menos de 10% de seu território. As UGS Jardim Ipê e Morumbi apresentaram a maior e menor quantidades de TB, com trezentos e cinquenta e sete (357) e setenta e sete (77), respectivamente (Tabela 1).

UGS	Qtd. TBs por UGS	Área total TBs (m ²)	Percentual do território da UGS	Quarteirões c/ TB e armadilhas	Percentual médio de TBs por quarteirão
1. VILA C	32	170104.392	15,12 %	3	2,7 %
2. PORTO BELO	199	446968.646	47,29 %	19	18,31 %
3. JD IPE	357	398721.875	39,21 %	25	11,99 %
4. LAGOA DOURADA	142	225471.447	23,52 %	21	12,11 %
5. TRES BANDEIRAS	161	400859.063	46,19 %	21	18,15 %
6. PORTAL DA FOZ	126	221862.491	20,34 %	17	10,25 %
7. MORUMBI	77	132898.695	12,53 %	10	12,45 %
8. CAMPOS DO IGUAÇU	97	97577.086	09,59 %	13	8,77 %
9. JARDIM AMERICA	115	277702.232	28,53 %	18	13,69 %

Tabela 1. Terrenos baldios presentes nas Unidades Geográficas Sentinela (UGS) no município de Foz do Iguaçu (ano referência: 2025). Obs: terrenos a 100 metros da UGS incluídos.

5.2. Resultados Estatísticos

Dentre todos os GLMMs ajustados, detectamos uma associação significativa apenas entre a proporção de terrenos baldios por quarteirão e o número de armadilhas adu trap positivas (GLMM, Tabela 2). O modelo indicou uma associação negativa entre estas variáveis ($\beta = -0,494$; erro padrão = 0,215; $z = -2,303$; $p = 0,021$), sugerindo que

quarteirões com maior cobertura por terrenos baldios apresentam menor ocorrência de armadilhas positivas para mosquitos. A Imagem 5 apresenta uma visualização simplificada desta relação. Por outro lado, não foram observadas associações estatisticamente significativas entre a cobertura de terrenos baldios e o número de mosquitos por armadilha, o número de ovos por armadilha ou a quantidade de ovitrampas positivas.

Variável dependente	Distribuição	Coef. (β)	Erro padrão	z	p
<i>Aedes aegypti</i> por Adultrap	Binomial negativa	1,022	0,591	1,729	0,084
Adultraps positivas para <i>Aedes aegypti</i>	Poisson	-0,494	0,215	-2,303	0,021*
Ovos por ovitrampa	Binomial negativa	-0,438	0,417	-1,051	0,293
Ovitrampas positivas	Poisson	-0,110	0,220	-0,498	0,618

Tabela 2. Resultados dos modelos lineares generalizados mistos (GLMMs) avaliando a associação entre a proporção de terrenos baldios por quarteirão e variáveis relacionadas à presença de mosquitos. *Asteriscos representam significância. Todos os modelos incluíram efeitos aleatórios para mês e Unidade Geográfica Sentinela (UGS).

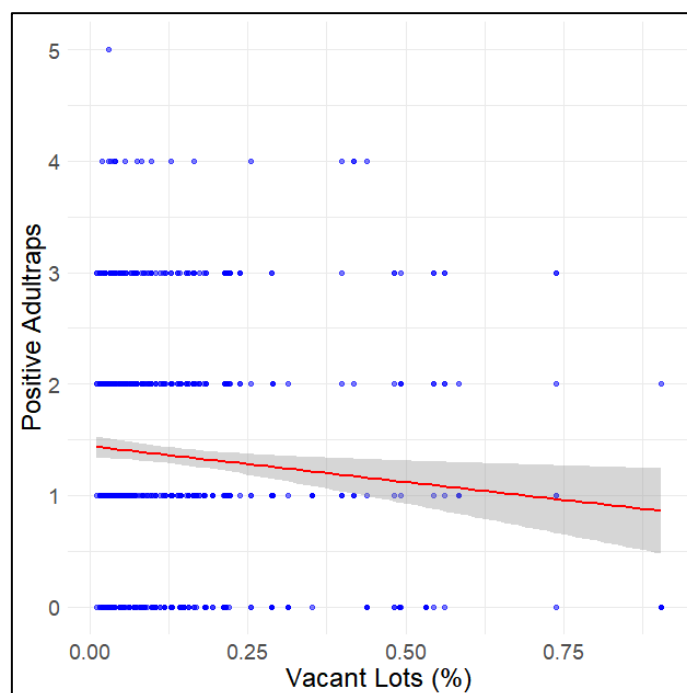


Imagem 6. Relação entre a proporção de terrenos baldios por quarteirão e o número de armadilhas adu-trap positivas. Os pontos representam observações empíricas, e a linha vermelha indica o modelo de regressão linear ajustado, com intervalo de confiança de 95% (faixa sombreada). Observa-se uma associação negativa significativa entre as variáveis ($\beta = -0,64$; $R^2 = 0,008$; $p = 0,0096$), indicando que maiores proporções de terrenos baldios estão associadas a menor número de armadilhas positivas.

6 DISCUSSÃO

O estudo não corrobora a hipótese inicial do trabalho. A relação é inversa ao esperado, ou seja, quanto maior a cobertura de terrenos baldios, menor a quantidade de armadilhas positivas para adultos de *Aedes aegypti*. Acreditamos que isso esteja relacionada à preferência por imóveis ocupados, que apresentam as condições favoráveis para alimentação, abrigo e reprodução do mosquito. A fase hematófaga de *Aedes aegypti* vem após a cópula e anterior à postura dos ovos (MARTIN-MARTIN *et al.*, 2023). Fêmeas maduras procuram espaços com presença humana para poder realizar o hábito de alimentação. Portanto consideramos que terrenos baldios podem não oferecer todas as características necessárias para esta etapa de vida do mosquito. Nossos resultados apontam que a presença de adultos de *Aedes aegypti* está intimamente relacionada com a presença humana (BLANCO-SIERRA *et al.*, 2024). Resultados descritivos de Souza, Silva e Lima (2020) na caracterização dos terrenos, apontam que as maiores quantidades de casos da doença estão concentradas nos bairros mais antigos e com menor número de lotes baldios. Apesar das armadilhas terem sido posicionadas apenas dentro de imóveis ocupados, diversos trabalhos demonstram que a adultrap tem capacidade para acompanhar variações da população de mosquitos do entorno, reduzindo os esforços necessários no levantamento casa-a-casa e monitorando inclusive os TBs (GOMES *et al.*, 2008; LOURENÇO-DE-OLIVEIRA *et al.*, 2008; LEANDRO *et al.*, 2022; LEANDRO *et al.*, 2024). Não acreditamos, portanto, que nossos resultados estejam relacionados com a ausência de armadilhas posicionadas nos TBs. A hipótese inicial não foi corroborada, expondo dados importantes quanto a ecologia do mosquito e à eficácia dos métodos de monitoramento.

No nosso experimento, apenas o IPA apresentou significância em relação à cobertura de terrenos baldios, apontando maior sensibilidade da Adultrap em comparação com a ovitrampa para captura de variações ambientais. Capturas realizadas por adultraps possuem uma alta taxa de especificidade para fêmeas grávidas, com 94% das fêmeas de *Aedes aegypti* em etapa de oviposição (MACIEL-DE-FREITAS *et al.*, 2008). Para a ovitrampa, a falta de significância dos resultados pode estar associada à própria característica desta armadilha, visto que o índice de densidade gerado por esta é afetado pela presença de outros depósitos de oviposição no entorno e pelo hábito do mosquito de postura de ovos em vários depósitos, interferindo nos resultados desta armadilha (ABREU, 2010; CODEÇO *et al.*, 2015; ZEQUI *et al.*, 2018). Desta forma, o índice de positividade da adultrap (IPA) demonstrou-se mais assertivo do que o índice de positividade da ovitrampa (IPO).

Apesar destas armadilhas serem bastante utilizadas para medidas de abundância de mosquito, inclusive a ovitrampa, com alta sensibilidade durante períodos de baixa infestação quando comparada à busca ativa por larvas ou outros métodos de captura (BRAGA *et al.*, 2000; GOMES *et al.*, 2008), nossos resultados não encontraram significância para os índices de densidade de nenhuma das armadilhas. Armadilhas baseadas em água como atrativo, competem com outros depósitos disponíveis no entorno para oviposição. Uma das hipóteses levantadas é que ambas armadilhas podem estar sendo afetadas pela presença de depósitos alternativos. A ovitrampa teria mantido este comportamento quando relacionado à medida de densidade de mosquitos. Já a adultrap, mesmo sendo comumente utilizada com base em seu IDA (índice de densidade de adulto), apresenta como padrão a menor captura quantitativa, pois atinge um *plateau* aos 20% de positividade, e assim falha em capturar maior abundância de mosquitos, visto que a chance de encontrar uma armadilha vazia permanece alta (CODEÇO *et al.*, 2015). A ausência de correlação da quantidade de adultos capturados por armadilha já ocorreu em trabalhos anteriores (LOURENÇO-DE-OLIVEIRA *et al.*, 2008; GOMES *et al.*, 2008).

Apesar de não haver sido encontrada uma relação entre o aumento populacional do mosquito *Aedes aegypti* com o aumento de terrenos baldios ou desocupados na presente investigação, consideramos alguns fatores sobre os resultados: o uso de armadilhas adultrap e ovitrampa recortou um momento determinado do ciclo de vida de *Aedes aegypti* anterior à prática de hematofagia, bem como selecionou uma maior quantidade de capturas de fêmeas desta espécie. Não sabemos se tais resultados poderiam haver sido diferentes se praticados com outros métodos de captura, como por exemplo a aspiração manual através de aspirador costal, ou o uso de armadilha MosquiTRAP, que tem maior taxa de amostral de machos e fêmeas (MACIEL-DE-FREITAS *et al.*, 2008), ou mesmo a BG-Sentinel, que utiliza outros atrativos para realizar capturas (biogents.com/bg-sentinel). Da mesma maneira, o presente trabalho de pesquisa não trabalhou com a identificação de diferentes tipos ou *categorias* de terrenos baldios e lotes vazios, podendo ser relevante para a análise identificar a paisagem e os itens prevalentes nestes espaços, como por exemplo: mato alto, restos de edificações, depósito de lixo, declives, hortas, cobertura vegetal, espécies de plantas, entre outros.

De tal maneira, apesar de ao entrar em um terreno baldio possamos não ser picados por uma fêmea de *Aedes aegypti*, ainda consideramos perfeitamente possível ser picado por outras espécies de mosquito. Recomendamos manter o asseio ambiental dos lotes e terrenos vazios independentemente dos resultados encontrados, visto que é perfeitamente

conhecida a relação da presença de lixo com a disponibilidade de depósitos para multiplicação desta espécie, assim como o acúmulo de entulhos com o aumento da presença de animais peçonhentos devido a disponibilidade de abrigo para os mesmos.

8 REFERÊNCIAS

ABREU, F. V. S. **Estudo do comportamento de “oviposição em saltos” por fêmeas de *Aedes aegypti* (Diptera: Culicidae) em diferentes densidades de criadouros e a influência da armadilha MosquiTRAP® na redução de ovos e criadouros positivos.** [Dissertação]. Belo Horizonte (MG): Universidade Federal de Minas Gerais, 2010.

AGÊNCIA GOV. Dengue: **Conheça os principais sintomas e saiba como se proteger do vírus.** Disponível em: <https://agenciagov.com.br/noticias/202401/dengue-conheca-os-principais-sintomas-e-saiba-como-se-proteger-do-virus>, Acesso em: 23 set. 2025.

ANVERSA, Luiz. O que é considerado um terreno baldio? **Exame.** Disponível em: https://exame.com/mercado-imobiliario/o-que-e-considerado-um-terreno-baldio/?utm_source=copiaecola&utm_medium=compartilhamento. Acesso em: 03 abr. 2025.

BAAK-BAAK, Carlos M.; et al. Vacant Lots: Productive Sites for *Aedes* (*Stegomyia*) *aegypti* (Diptera: Culicidae) in Merida City, Mexico. **Journal of Medical Entomology**, v. 51, n. 2, p. 475-483, 2014.

BARCELLOS, C. & RAMALHO, W. M. Situação atual do geoprocessamento e da análise de dados espaciais em saúde no Brasil. **Informática Pública**, v. 4, n. 2, p. 221-230, 2002.

BARCELLOS, C.; PUSTAI, A. K.; WEBER, M. A.; BRITO, M. R. V. Identificação de locais com potencial de transmissão de dengue em Porto Alegre através de técnicas de geoprocessamento. **Revista da Sociedade Brasileira de Medicina Tropical**, v. 38, n. 3, p. 246-250, maio-jun. 2005.

BARCELLOS, C.; RAMALHO, W. M.; GRACIE, R.; MAGALHÃES, M. de A. F. M.; FONTES, M. P.; SKABA, D. Georreferenciamento de dados de saúde na escala submunicipal: algumas experiências no Brasil. **Epidemiol. Serv. Saúde**, Brasília, v. 17, n. 1, p. 59-70, 2008.

BARTH, O. M. Atlas of Dengue Viruses Morphology and Morphogenesis. **Ministério da Saúde do Brasil, Instituto Oswaldo Cruz**, 2010. Disponível em: <https://www.ioc.fiocruz.br/sites/default/files/2010%20Atlas%20completo%20rede.pdf>

BATES, D.; MÄCHLER, M.; BOLKER, B.; WALKER, S. Fitting linear mixed-effects models using lme4. **Journal of Statistical Software**, v. 67, n. 1, p. 1–48, 2015.

BEM PARANÁ. **Armadilha paranaense contra dengue será testada no País: Equipamento aprisiona a fêmea do mosquito, que morrem sem reproduzir.** Disponível em: <https://www.bemparana.com.br/noticias/parana/armadilha-paranaense-contra-dengue-sera-testada-no-pais-47658/amp/>. Acesso em: 30 nov. 2025. 2007.

BLANCO-SIERRA, L.; BELLVERARNAU, J.; ESCARTIN, S.; MARIANI, S.; BARTUMEUS, F. Human–Environment interactions shape mosquito seasonal population dynamics. **Insects**, v. 15, n. 527, 2024.

BRAGA, I. A.; et al. Comparative study between larval surveys and ovitraps to monitor populations of *Aedes aegypti*. **Revista da Sociedade Brasileira de Medicina Tropical**, v. 33, n. 4, p. 347–356, 2000.

BRASIL. **Programa Nacional de Controle da Dengue (PNCD)**. Brasília: Ministério da Saúde, 2002.

CODEÇO, C. T.; LIMA, A. W. S.; ARAÚJO, S. C.; LIMA, J. B. P.; MACIEL-DE-FREITAS, R.; HONÓRIO, N. A.; et al. Surveillance of *Aedes aegypti*: comparison of house index with four alternative traps. **PLoS Neglected Tropical Diseases**, v. 9, n. 2, 2015.

CRAWLEY, M. J. *Statistics: an introduction using R*. London: **Wiley**. 342 p. ISBN 0470022973, 2005.

DA SILVA, V. *et al.* Diversity of oviposition containers and buildings where *Aedes albopictus* and *Aedes aegypti* can be found. **Revista de Saúde Pública**, v. 40, n. 6, p. 1106-1111, 2006.

DA SILVA, K. R. *et al.* New traps for the capture of *Aedes aegypti* (Linnaeus) and *Aedes albopictus* (Skuse) (Diptera: Culicidae) eggs and adults. **PLoS Neglected Tropical Diseases**, v. 15, n. 4, 2021.

DAVID, Mariana Rocha; *et al.* Influence of larval habitat environmental characteristics on Culicidae immature abundance and body size of adult *Aedes aegypti*. **Frontiers in Ecology and Evolution**, v. 9, 2021.

DE ALMEIDA, Michelle Teixeira; *et al.* Latin America's dengue outbreak poses a global health threat. **Viruses**, v. 17, n. 57, 1 jan, 2025.

DE MENDONÇA, Haydêe F. M. S.; *et al.* Breeding sites of *Aedes aegypti* in metropolitan vacant lots in Greater Vitória, State of Espírito Santo, Brazil. **Revista da Sociedade Brasileira de Medicina Tropical**, v. 44, n. 2, 2011.

DE MOURA R.R.; *et al.* One Health Index (OHI) applied to Curitiba, the ninth-largest metropolitan area of Brazil, with concomitant assessment of animal, environmental, and human health indicators. **One Health**, v. 14, 2022.

DONATTI, J. E.; GOMES, A. de C. Adultrap: descrição de armadilha para adulto de *Aedes aegypti* (Diptera, Culicidae). **Revista Brasileira de Entomologia**, v. 51, n. 2, p. 255-256, junho 2007.

DZUL-MANZANILLA, F. *et al.* Identifying urban hotspots of dengue, chikungunya, and zika transmission in Mexico to support risk stratification efforts: a spatial analysis. **Lancet Planetary Health**, v. 5, p. e277–e285, 2021.

ESPINOSA, M.; WEINBERG, D.; ROTELA, C. H.; POLOP, F.; ABRIL, M.; SCAVUZZO, C. M. Temporal dynamics and spatial patterns of *Aedes aegypti* breeding sites, in the context of a dengue control program in Tartagal (Salta Province, Argentina). **PLoS Neglected Tropical Diseases**, 25 maio, v. 10, n. 5, 2016.

FAY R.W.; ELIASON, D.A. A preferred oviposition site as a surveillance method for *Aedes aegypti*. **Mosquito News**, v. 26, n.4, 531-535, 1966.

FIOCRUZ-Fundação Oswaldo Cruz. **Dengue Vírus e Vetor: O vírus.** [s.d.]-a. Disponível em: <https://www.ioc.fiocruz.br/dengue/textos/sobreovirus.html>. Acesso em: 23 set. 2025.

FIOCRUZ-Fundação Oswaldo Cruz. **Dengue.** [s.d.]-b. Disponível em: <https://fiocruz.br/taxonomia-geral-05-doencas/dengue>. Acesso em: 23 set. 2025.

FIOCRUZ-Fundação Oswaldo Cruz. **Tire dúvidas sobre o vírus da dengue.** [s.d.]-c. Disponível em: <https://www.ioc.fiocruz.br/noticias/tire-duvidas-sobre-o-virus-da-dengue>. Acesso em: 23 set. 2025.

FIOCRUZ-Fundação Oswaldo Cruz. ***Aedes aegypti* e *Aedes albopictus* - uma ameaça nos trópicos.** Rio de Janeiro: SPTI – IOC, [s.d.]-d. 1 vídeo (7 min). Publicado por IOC FIOCRUZ. Disponível em: <https://www.youtube.com/watch?v=St-uVi41qbc>. Acesso em: 23 set. 2025.

FLAUZINO, R. F.; SOUZA-SANTOS, R.; OLIVEIRA, R. M. Dengue, geoprocessamento e indicadores socioeconômicos e ambientais: um estudo de revisão. **Revista Panamericana de Salud Pública**, v. 25, n. 5, p. 456–461, 2009.

FOREMAN, K. J. *et al.* Forecasting life expectancy, years of life lost, and all-cause and cause-specific mortality for 250 causes of death: reference and alternative scenarios for 2016–40 for 195 countries and territories. **Lancet**, v. 392, p. 2052–2090, 2018.

FOZ DO IGUAÇU, Prefeitura. **Decreto n.º 31.240, de 15 de março de 2023. Decreta situação de emergência no município de Foz do Iguaçu, no que tange ao risco de epidemias de doenças transmitidas por vetores.** Informe Epidemiológico. Anexo 12 (2023/2024) SE 31 a 45.

GARELLI, F. M.; ESPINOSA, M. O.; GÜRTLER, R. E. Spatial analysis of *Aedes aegypti* immatures in Northern Argentina: clusters and temporal instability. **Acta Tropica**, v. 128, n. 3, p. 461-467, 2013.

GOMES, A. de C.; *et al.* Especificidade da armadilha Adultrap para capturar fêmeas de *Aedes aegypti* (Diptera: Culicidae). **Revista da Sociedade Brasileira de Medicina Tropical**, Uberaba, v. 40, n. 2, 2007.

GOMES, A. de C.; *et al.* Estimação da infestação predial por *Aedes aegypti* (Díptera: Culicidae) por meio da armadilha Adultrap®. **Epidemiologia e Serviços de Saúde**, Brasília, v. 17, n. 4, p. 293-300, out.–dez. 2008.

GUIMARÃES, Raul Borges. Geography and public health in Brazil. **Saúde e Sociedade**, São Paulo, v. 25, n. 4, p. 869-879, 2016.

HINO, P.; VILLA, T. C. S.; SASSAKI, C. M.; NOGUEIRA, J. de A.; SANTOS, C. B. dos. Geoprocessamento aplicado à área da saúde. **Revista Latino-Americana de Enfermagem**, v. 14, n. 6, 2006.

INSTITUTO BUTANTAN. **Vacina da dengue do Instituto Butantan, primeira do mundo em dose única, é aprovada pela Anvisa.** Disponível em: < <https://butantan.gov.br/noticias/vacina-da-dengue-do-instituto-butantan-primeira-do-mundo-em-dose-unica-e-aprovada-pela-anvisa> > Acesso em: 30 nov. 2025

KULARATNE, S. A. & DALUGAMA, C. Dengue infection: Global importance, immunopathology and management. **Clinical Medicine**, v. 22, n. 1, p. 9–13, 2022.

LEANDRO, A. S.; LOPES, R. D.; MARTINS, C. A.; RIVAS, A. V.; da SILVA, I.; GALVÃO, S. R.; et al. The adoption of the One Health approach to improve surveillance of venomous animal injury, vector-borne and zoonotic diseases in Foz do Iguaçu, Brazil. **PLoS Neglected Tropical Diseases**, v. 15, n. 2, 2021.

LEANDRO, A. S.; DE CASTRO, W.; LOPES, R. D.; DELAI, R. M.; VILLELA, D.; DE-FREITAS, R. Citywide integrated *Aedes aegypti* mosquito surveillance as early warning system for arbovirus transmission, Brazil. **Emerging Infectious Diseases**, v. 28, n. 4, p. 701-706, 2022.

LEANDRO, A. S.; AYALA, M. J. C.; LOPES, R. D.; MARTINS, C. A.; MACIEL-DE-FREITAS, R.; VILLELA, D. A. M. Entomo-Virological *Aedes aegypti* surveillance applied for prediction of dengue transmission: a spatio-temporal modeling study. **Pathogens**, v. 12, n. 4, 2023.

LEANDRO, André de Souza; PIRES-VIEIRA, Lara Helena; LOPES, Renata Defante; RIVAS, Açucena Veleh; AMARAL, Caroline; MACIEL-DE-FREITAS, Rafael; CASTRO, Wagner Antônio Chiba. Optimising the surveillance of *Aedes aegypti* in Brazil by selecting smaller representative areas within an endemic city. **Tropical Medicine & International Health**, v. 29, n. 5, p. 414-423, may 2024.

LEFRANÇOIS T.; et al. After 2 years of the COVID-19 pandemic, translating One Health into action is urgent. **The Lancet**, 4 oct. 2022

LIMA, Shirley Verônica Melo Almeida; RIBEIRO, Caíque Jordan Nunes; dos SANTOS, Allan Dantas. O uso do geoprocessamento para o fortalecimento da vigilância epidemiológica da COVID-19. **Revista Brasileira de Enfermagem**, e. 75, Supl. 101, 2022.

LOURENÇO-DE-OLIVEIRA, R.; et al. Comparison of different uses of adult traps and ovitraps for assessing dengue vector infestation in endemic areas. **Journal of the American Mosquito Control Association**, v. 24, n. 3, p. 387-392, 2008.

LY, Hinh. Dengue fever in the Americas. **Virulence**, v. 15, n. 1, 2024.

MACIEL-DE-FREITAS, Rafael; PERES, Roberto Costa; ALVES, Fernando; BRANDOLINI, Mauro Blanco. Mosquito traps designed to capture *Aedes aegypti* (Diptera: Culicidae) females: preliminary comparison of Adultrap, MosquiTRAP and backpack aspirator efficiency in a dengue-endemic area of Brazil. **Memórias do Instituto Oswaldo Cruz**, Rio de Janeiro, v. 103, n. 6, sept. 2008.

MARTIN-MARTIN, I.; WILLIAMS, A. E.; CALVO, E. Evaluation of *Aedes aegypti* Feeding Status. **Cold Spring Harbor Protocols**, Vol. 6, pdb.prot108023, 2023.

MINISTÉRIO DA SAÚDE (MS). Secretaria de Vigilância em Saúde. Departamento de Vigilância Epidemiológica. **Diretrizes nacionais para prevenção e controle de epidemias de dengue**. Brasília, DF: Ministério da Saúde, 2009.

MINISTÉRIO DA SAÚDE (MS). **Vacinação: Entenda como vai funcionar a primeira vacina contra a dengue com produção 100% nacional**. Publicado por Ministério da

Saúde. Disponível em: <<https://www.gov.br/saude/pt-br/assuntos/noticias/2025/novembro/entenda-como-vai-funcionar-a-primeira-vacina-contra-a-dengue-com-producao-100-nacional>> Acesso em: 30 out. 2025.

MINISTÉRIO DA SAÚDE (MS). **PORTARIA DE CONSOLIDAÇÃO Nº 4, DE 28 DE SETEMBRO DE 2017. Consolidação das normas sobre os sistemas e os subsistemas do Sistema Único de Saúde.** BRASIL, Ministério da Saúde, 2017.

MONTGOMERY, Matthew J.; *et al.* The effects of urbanization, temperature, and rainfall on *Aedes aegypti* and *Aedes albopictus* mosquito abundance across a broad latitudinal gradient in Central Africa. **Parasites & Vectors**, v. 18, n. 1, 2025.

MOORE, T. C.; BROWN, H. E. Estimating *Aedes aegypti* (Diptera: Culicidae) flight distance: meta-data analysis. **Journal of Medical Entomology**, v. 59, n. 4, p. 1164-1170, maio, 2022.

One Health High-Level Expert Panel (OHHLEP); *et al.* One Health: A new definition for a sustainable and healthy future. **PLoS Pathog**, v. 18, n. 6, 2022.

OLIVEIRA, L.F.A.; BARGOS, D.C. Analysis of the spatial distribution of the occurrences of dengue cases in Lorena (SP) with geoprocessing tools support. **Boletim Goiano de Geografia**, v. 42, e72852, dez, 2022.

PAN AMERICAN HEALTH ORGANIZATION. One Health Policy. **Provisional Agenda Item 4.6. CD59/920.** PAHO. junho 2021.

PINTADO-SILVA, J & FERNANDEZ-SESMA A. Challenges on the development of a dengue vaccine: a comprehensive review of the state of the art. **Journal of General Virology**, v. 104, 2023.

PROCOPIO A.C.; *et al.* Integrated One Health strategies in Dengue. **One Health**, v. 18, 2024.

R Core Team. R: A language and environment for statistical computing. Vienna: **R Foundation for Statistical Computing**; 2024.

SALVI, F. I. *et al.* Percepções de agentes de combate a endemias e da população quanto aos fatores que influenciam na proliferação do mosquito *Aedes aegypti*, Chapecó (SC). **Revista Sustinere**, v. 9, n. 1, p. 125, 2021.

SOUZA, R. C.; SILVA, A. A.; LIMA, D. A. L. L. Mapeamento da ocorrência do *Aedes aegypti* na Região Nordeste de Anápolis (GO) em 2017. **Revista CEREUS**, v. 12, n. 2, 2020.

VALLADARES, G. S.; HASSUM, I. C.; ALBUQUERQUE, E. L. S.; DOS SANTOS, A. C. Influência de variáveis ambientais na ocorrência da dengue utilizando geoprocessamento em Teresina, Piauí. **Hygeia – Revista Brasileira de Geografia Médica e da Saúde**, v. 15, n. 34, p. 115-128, 2019.

WANJIKU, C.; TCHOUASSI, D. P.; SOLE, C. L.; PIRK, C.; TORTO, B. Plant sugar feeding patterns of wild-caught *Aedes aegypti* from dengue endemic and non-endemic areas of Kenya. **Medical and Veterinary Entomology**, v. 35, n. 3, p. 417-425, 2021.

ZEQUI, J. A. C.; DE OLIVEIRA, A. A.; DOS SANTOS, F. P.; LOPES, J. Monitoramento e controle de *Aedes aegypti* (Linnaeus, 1762) e *Aedes albopictus* (Skuse, 1984) com uso de ovitrampas. **Semina: Ciências Biológicas e da Saúde**, Londrina, v. 39, n. 2, p. 93-102, 2018.

ANEXO

Tabela de dados final referente à presença e ausência de terrenos baldios e leitura de armadilhas por Unidade Geográfica Sentinela utilizada na pesquisa.

ano	mês	UGS	quarteirão	área_quarteirão	área_TB	tipo_armadilha	leitura_armadilhas
2022	dezembro	9	850	14513.854	1021.134	ovitrampa	77
2023	janeiro	9	850	14513.854	1021.134	ovitrampa	125
2023	fevereiro	9	850	14513.854	1021.134	ovitrampa	0
2023	março	9	850	14513.854	1021.134	ovitrampa	141
2023	abril	9	850	14513.854	1021.134	ovitrampa	82
2023	maio	9	850	14513.854	1021.134	ovitrampa	168
2022	dezembro	9	850	14513.854	1021.134	adultrap	1
2023	janeiro	9	850	14513.854	1021.134	adultrap	0
2023	fevereiro	9	850	14513.854	1021.134	adultrap	0
2023	março	9	850	14513.854	1021.134	adultrap	0
2023	abril	9	850	14513.854	1021.134	adultrap	0
2023	maio	9	850	14513.854	1021.134	adultrap	0
2022	dezembro	9	851	14291.754	1400.244	ovitrampa	438
2023	janeiro	9	851	14291.754	1400.244	ovitrampa	0
2023	fevereiro	9	851	14291.754	1400.244	ovitrampa	0
2023	março	9	851	14291.754	1400.244	ovitrampa	453
2023	abril	9	851	14291.754	1400.244	ovitrampa	880
2023	maio	9	851	14291.754	1400.244	ovitrampa	363
2022	dezembro	9	851	14291.754	1400.244	adultrap	9
2023	janeiro	9	851	14291.754	1400.244	adultrap	40
2023	fevereiro	9	851	14291.754	1400.244	adultrap	4
2023	março	9	851	14291.754	1400.244	adultrap	45
2023	abril	9	851	14291.754	1400.244	adultrap	0
2023	maio	9	851	14291.754	1400.244	adultrap	6
2022	dezembro	9	852	14416.482	2147.155	ovitrampa	47
2023	janeiro	9	852	14416.482	2147.155	ovitrampa	149
2023	fevereiro	9	852	14416.482	2147.155	ovitrampa	178
2023	março	9	852	14416.482	2147.155	ovitrampa	397
2023	abril	9	852	14416.482	2147.155	ovitrampa	57
2023	maio	9	852	14416.482	2147.155	ovitrampa	104
2022	dezembro	9	852	14416.482	2147.155	adultrap	0
2023	janeiro	9	852	14416.482	2147.155	adultrap	0
2023	fevereiro	9	852	14416.482	2147.155	adultrap	0
2023	março	9	852	14416.482	2147.155	adultrap	0
2023	abril	9	852	14416.482	2147.155	adultrap	0

2023	maio	9	852	14416.482	2147.155	adultrap	0
2022	dezembro	9	857	14730.726	3126.723	adultrap	0
2023	janeiro	9	857	14730.726	3126.723	adultrap	0
2023	fevereiro	9	857	14730.726	3126.723	adultrap	0
2023	março	9	857	14730.726	3126.723	adultrap	0
2023	abril	9	857	14730.726	3126.723	adultrap	0
2023	maio	9	857	14730.726	3126.723	adultrap	0
2022	dezembro	9	861	14918.913	2449.368	ovitrampa	170
2023	janeiro	9	861	14918.913	2449.368	ovitrampa	363
2023	fevereiro	9	861	14918.913	2449.368	ovitrampa	0
2023	março	9	861	14918.913	2449.368	ovitrampa	311
2023	abril	9	861	14918.913	2449.368	ovitrampa	32
2023	maio	9	861	14918.913	2449.368	ovitrampa	415
2022	dezembro	9	861	14918.913	2449.368	adultrap	0
2023	janeiro	9	861	14918.913	2449.368	adultrap	0
2023	fevereiro	9	861	14918.913	2449.368	adultrap	0
2023	março	9	861	14918.913	2449.368	adultrap	0
2023	abril	9	861	14918.913	2449.368	adultrap	0
2023	maio	9	861	14918.913	2449.368	adultrap	0
2022	dezembro	9	862	14987.800	795.229	ovitrampa	57
2023	janeiro	9	862	14987.800	795.229	ovitrampa	362
2023	fevereiro	9	862	14987.800	795.229	ovitrampa	47
2023	março	9	862	14987.800	795.229	ovitrampa	223
2023	abril	9	862	14987.800	795.229	ovitrampa	64
2023	maio	9	862	14987.800	795.229	ovitrampa	2
2022	dezembro	9	862	14987.800	795.229	adultrap	5
2023	janeiro	9	862	14987.800	795.229	adultrap	0
2023	fevereiro	9	862	14987.800	795.229	adultrap	0
2023	março	9	862	14987.800	795.229	adultrap	15
2023	abril	9	862	14987.800	795.229	adultrap	0
2023	maio	9	862	14987.800	795.229	adultrap	1
2022	dezembro	9	865	31053.042	6913.089	ovitrampa	100
2023	janeiro	9	865	31053.042	6913.089	ovitrampa	174
2023	fevereiro	9	865	31053.042	6913.089	ovitrampa	14
2023	março	9	865	31053.042	6913.089	ovitrampa	232
2023	abril	9	865	31053.042	6913.089	ovitrampa	54
2023	maio	9	865	31053.042	6913.089	ovitrampa	18
2022	dezembro	9	865	31053.042	6913.089	adultrap	0
2023	janeiro	9	865	31053.042	6913.089	adultrap	1
2023	fevereiro	9	865	31053.042	6913.089	adultrap	0
2023	março	9	865	31053.042	6913.089	adultrap	1
2023	abril	9	865	31053.042	6913.089	adultrap	1

2023	maio	9	865	31053.042	6913.089	adultrap	1
2022	dezembro	9	867	14344.920	1504.186	ovitrampa	1318
2023	janeiro	9	867	14344.920	1504.186	ovitrampa	364
2023	fevereiro	9	867	14344.920	1504.186	ovitrampa	312
2023	março	9	867	14344.920	1504.186	ovitrampa	701
2023	abril	9	867	14344.920	1504.186	ovitrampa	88
2023	maio	9	867	14344.920	1504.186	ovitrampa	96
2022	dezembro	9	867	14344.920	1504.186	adultrap	5
2023	janeiro	9	867	14344.920	1504.186	adultrap	0
2023	fevereiro	9	867	14344.920	1504.186	adultrap	0
2023	março	9	867	14344.920	1504.186	adultrap	2
2023	abril	9	867	14344.920	1504.186	adultrap	1
2023	maio	9	867	14344.920	1504.186	adultrap	0
2022	dezembro	9	870	31381.131	17626.025	ovitrampa	224
2023	janeiro	9	870	31381.131	17626.025	ovitrampa	204
2023	fevereiro	9	870	31381.131	17626.025	ovitrampa	255
2023	março	9	870	31381.131	17626.025	ovitrampa	1433
2023	abril	9	870	31381.131	17626.025	ovitrampa	409
2023	maio	9	870	31381.131	17626.025	ovitrampa	362
2022	dezembro	9	870	31381.131	17626.025	adultrap	8
2023	janeiro	9	870	31381.131	17626.025	adultrap	26
2023	fevereiro	9	870	31381.131	17626.025	adultrap	0
2023	março	9	870	31381.131	17626.025	adultrap	75
2023	abril	9	870	31381.131	17626.025	adultrap	6
2023	maio	9	870	31381.131	17626.025	adultrap	8
2022	dezembro	9	872	16570.008	1100.898	ovitrampa	282
2023	janeiro	9	872	16570.008	1100.898	ovitrampa	296
2023	fevereiro	9	872	16570.008	1100.898	ovitrampa	690
2023	março	9	872	16570.008	1100.898	ovitrampa	1068
2023	abril	9	872	16570.008	1100.898	ovitrampa	345
2023	maio	9	872	16570.008	1100.898	ovitrampa	0
2022	dezembro	9	872	16570.008	1100.898	adultrap	2
2023	janeiro	9	872	16570.008	1100.898	adultrap	1
2023	fevereiro	9	872	16570.008	1100.898	adultrap	0
2023	março	9	872	16570.008	1100.898	adultrap	1
2023	abril	9	872	16570.008	1100.898	adultrap	0
2023	maio	9	872	16570.008	1100.898	adultrap	0
2022	dezembro	9	877	13384.524	750.846	ovitrampa	428
2023	janeiro	9	877	13384.524	750.846	ovitrampa	286
2023	fevereiro	9	877	13384.524	750.846	ovitrampa	0
2023	março	9	877	13384.524	750.846	ovitrampa	147
2023	abril	9	877	13384.524	750.846	ovitrampa	114

2023	maio	9	877	13384.524	750.846	ovitrampa	171
2022	dezembro	9	877	13384.524	750.846	adultrap	0
2023	janeiro	9	877	13384.524	750.846	adultrap	1
2023	fevereiro	9	877	13384.524	750.846	adultrap	3
2023	março	9	877	13384.524	750.846	adultrap	3
2023	abril	9	877	13384.524	750.846	adultrap	2
2023	maio	9	877	13384.524	750.846	adultrap	1
2022	dezembro	9	881	53313.086	8318.823	ovitrampa	165
2023	janeiro	9	881	53313.086	8318.823	ovitrampa	0
2023	fevereiro	9	881	53313.086	8318.823	ovitrampa	225
2023	março	9	881	53313.086	8318.823	ovitrampa	147
2023	abril	9	881	53313.086	8318.823	ovitrampa	148
2023	maio	9	881	53313.086	8318.823	ovitrampa	153
2022	dezembro	9	881	53313.086	8318.823	adultrap	1
2023	janeiro	9	881	53313.086	8318.823	adultrap	0
2023	fevereiro	9	881	53313.086	8318.823	adultrap	4
2023	março	9	881	53313.086	8318.823	adultrap	0
2023	abril	9	881	53313.086	8318.823	adultrap	0
2023	maio	9	881	53313.086	8318.823	adultrap	0
2022	dezembro	9	882	23343.652	770.429	ovitrampa	0
2023	janeiro	9	882	23343.652	770.429	ovitrampa	637
2023	fevereiro	9	882	23343.652	770.429	ovitrampa	0
2023	março	9	882	23343.652	770.429	ovitrampa	57
2023	abril	9	882	23343.652	770.429	ovitrampa	0
2023	maio	9	882	23343.652	770.429	ovitrampa	652
2022	dezembro	9	882	23343.652	770.429	adultrap	3
2023	janeiro	9	882	23343.652	770.429	adultrap	0
2023	fevereiro	9	882	23343.652	770.429	adultrap	0
2023	março	9	882	23343.652	770.429	adultrap	0
2023	abril	9	882	23343.652	770.429	adultrap	0
2023	maio	9	882	23343.652	770.429	adultrap	0
2022	dezembro	9	885	11837.495	850.275	ovitrampa	468
2023	janeiro	9	885	11837.495	850.275	ovitrampa	374
2023	fevereiro	9	885	11837.495	850.275	ovitrampa	188
2023	março	9	885	11837.495	850.275	ovitrampa	189
2023	abril	9	885	11837.495	850.275	ovitrampa	86
2023	maio	9	885	11837.495	850.275	ovitrampa	25
2022	dezembro	9	885	11837.495	850.275	adultrap	0
2023	janeiro	9	885	11837.495	850.275	adultrap	0
2023	fevereiro	9	885	11837.495	850.275	adultrap	0
2023	março	9	885	11837.495	850.275	adultrap	0
2023	abril	9	885	11837.495	850.275	adultrap	0

2023	maio	9	885	11837.495	850.275	adultrap	0
2022	dezembro	9	886	10196.581	733.885	ovitrampa	228
2023	janeiro	9	886	10196.581	733.885	ovitrampa	854
2023	fevereiro	9	886	10196.581	733.885	ovitrampa	439
2023	março	9	886	10196.581	733.885	ovitrampa	557
2023	abril	9	886	10196.581	733.885	ovitrampa	355
2023	maio	9	886	10196.581	733.885	ovitrampa	225
2022	dezembro	9	886	10196.581	733.885	adultrap	1
2023	janeiro	9	886	10196.581	733.885	adultrap	3
2023	fevereiro	9	886	10196.581	733.885	adultrap	1
2023	março	9	886	10196.581	733.885	adultrap	0
2023	abril	9	886	10196.581	733.885	adultrap	1
2023	maio	9	886	10196.581	733.885	adultrap	0
2022	dezembro	9	889	58138.945	8351.912	ovitrampa	415
2023	janeiro	9	889	58138.945	8351.912	ovitrampa	240
2023	fevereiro	9	889	58138.945	8351.912	ovitrampa	317
2023	março	9	889	58138.945	8351.912	ovitrampa	159
2023	abril	9	889	58138.945	8351.912	ovitrampa	488
2023	maio	9	889	58138.945	8351.912	ovitrampa	70
2022	dezembro	9	889	58138.945	8351.912	adultrap	0
2023	janeiro	9	889	58138.945	8351.912	adultrap	0
2023	fevereiro	9	889	58138.945	8351.912	adultrap	0
2023	março	9	889	58138.945	8351.912	adultrap	0
2023	abril	9	889	58138.945	8351.912	adultrap	0
2023	maio	9	889	58138.945	8351.912	adultrap	1
2022	dezembro	9	894	11043.125	1850.986	adultrap	0
2023	janeiro	9	894	11043.125	1850.986	adultrap	2
2023	fevereiro	9	894	11043.125	1850.986	adultrap	0
2023	março	9	894	11043.125	1850.986	adultrap	0
2023	abril	9	894	11043.125	1850.986	adultrap	0
2023	maio	9	894	11043.125	1850.986	adultrap	0
2022	dezembro	9	899	14099.287	845.491	ovitrampa	202
2023	janeiro	9	899	14099.287	845.491	ovitrampa	180
2023	fevereiro	9	899	14099.287	845.491	ovitrampa	61
2023	março	9	899	14099.287	845.491	ovitrampa	94
2023	abril	9	899	14099.287	845.491	ovitrampa	255
2023	maio	9	899	14099.287	845.491	ovitrampa	46
2022	dezembro	9	899	14099.287	845.491	adultrap	0
2023	janeiro	9	899	14099.287	845.491	adultrap	2
2023	fevereiro	9	899	14099.287	845.491	adultrap	0
2023	março	9	899	14099.287	845.491	adultrap	0
2023	abril	9	899	14099.287	845.491	adultrap	0

2023	maio	9	899	14099.287	845.491	adultrap	1
2022	dezembro	8	1197	18713.219	425.424	ovitrampa	286
2023	janeiro	8	1197	18713.219	425.424	ovitrampa	129
2023	fevereiro	8	1197	18713.219	425.424	ovitrampa	168
2023	março	8	1197	18713.219	425.424	ovitrampa	35
2023	abril	8	1197	18713.219	425.424	ovitrampa	38
2023	maio	8	1197	18713.219	425.424	ovitrampa	1
2022	dezembro	8	1197	18713.219	425.424	adultrap	0
2023	janeiro	8	1197	18713.219	425.424	adultrap	0
2023	fevereiro	8	1197	18713.219	425.424	adultrap	0
2023	março	8	1197	18713.219	425.424	adultrap	0
2023	abril	8	1197	18713.219	425.424	adultrap	0
2023	maio	8	1197	18713.219	425.424	adultrap	0
2022	dezembro	8	1207	9466.907	1549.698	ovitrampa	230
2023	janeiro	8	1207	9466.907	1549.698	ovitrampa	448
2023	fevereiro	8	1207	9466.907	1549.698	ovitrampa	128
2023	março	8	1207	9466.907	1549.698	ovitrampa	96
2023	abril	8	1207	9466.907	1549.698	ovitrampa	13
2023	maio	8	1207	9466.907	1549.698	ovitrampa	0
2022	dezembro	8	1207	9466.907	1549.698	adultrap	0
2023	janeiro	8	1207	9466.907	1549.698	adultrap	0
2023	fevereiro	8	1207	9466.907	1549.698	adultrap	0
2023	março	8	1207	9466.907	1549.698	adultrap	2
2023	abril	8	1207	9466.907	1549.698	adultrap	1
2023	maio	8	1207	9466.907	1549.698	adultrap	0
2022	dezembro	8	1213	21366.759	3715.478	ovitrampa	205
2023	janeiro	8	1213	21366.759	3715.478	ovitrampa	188
2023	fevereiro	8	1213	21366.759	3715.478	ovitrampa	248
2023	março	8	1213	21366.759	3715.478	ovitrampa	119
2023	abril	8	1213	21366.759	3715.478	ovitrampa	323
2023	maio	8	1213	21366.759	3715.478	ovitrampa	14
2022	dezembro	8	1213	21366.759	3715.478	adultrap	1
2023	janeiro	8	1213	21366.759	3715.478	adultrap	0
2023	fevereiro	8	1213	21366.759	3715.478	adultrap	0
2023	março	8	1213	21366.759	3715.478	adultrap	0
2023	abril	8	1213	21366.759	3715.478	adultrap	0
2023	maio	8	1213	21366.759	3715.478	adultrap	0
2022	dezembro	8	1228	46252.794	3092.990	ovitrampa	193
2023	janeiro	8	1228	46252.794	3092.990	ovitrampa	139
2023	fevereiro	8	1228	46252.794	3092.990	ovitrampa	50
2023	março	8	1228	46252.794	3092.990	ovitrampa	203
2023	abril	8	1228	46252.794	3092.990	ovitrampa	62

2023	maio	8	1228	46252.794	3092.990	ovitrampa	168
2022	dezembro	8	1228	46252.794	3092.990	adultrap	0
2023	janeiro	8	1228	46252.794	3092.990	adultrap	1
2023	fevereiro	8	1228	46252.794	3092.990	adultrap	0
2023	março	8	1228	46252.794	3092.990	adultrap	1
2023	abril	8	1228	46252.794	3092.990	adultrap	1
2023	maio	8	1228	46252.794	3092.990	adultrap	0
2022	dezembro	8	1239	10917.017	1522.970	ovitrampa	504
2023	janeiro	8	1239	10917.017	1522.970	ovitrampa	365
2023	fevereiro	8	1239	10917.017	1522.970	ovitrampa	245
2023	março	8	1239	10917.017	1522.970	ovitrampa	188
2023	abril	8	1239	10917.017	1522.970	ovitrampa	76
2023	maio	8	1239	10917.017	1522.970	ovitrampa	76
2022	dezembro	8	1239	10917.017	1522.970	adultrap	4
2023	janeiro	8	1239	10917.017	1522.970	adultrap	4
2023	fevereiro	8	1239	10917.017	1522.970	adultrap	1
2023	março	8	1239	10917.017	1522.970	adultrap	5
2023	abril	8	1239	10917.017	1522.970	adultrap	1
2023	maio	8	1239	10917.017	1522.970	adultrap	1
2022	dezembro	8	1245	13189.611	625.484	adultrap	0
2023	janeiro	8	1245	13189.611	625.484	adultrap	0
2023	fevereiro	8	1245	13189.611	625.484	adultrap	0
2023	março	8	1245	13189.611	625.484	adultrap	0
2023	abril	8	1245	13189.611	625.484	adultrap	0
2023	maio	8	1245	13189.611	625.484	adultrap	0
2022	dezembro	8	1247	10627.846	758.454	ovitrampa	459
2023	janeiro	8	1247	10627.846	758.454	ovitrampa	89
2023	fevereiro	8	1247	10627.846	758.454	ovitrampa	104
2023	março	8	1247	10627.846	758.454	ovitrampa	250
2023	abril	8	1247	10627.846	758.454	ovitrampa	0
2023	maio	8	1247	10627.846	758.454	ovitrampa	1
2022	dezembro	8	1247	10627.846	758.454	adultrap	0
2023	janeiro	8	1247	10627.846	758.454	adultrap	0
2023	fevereiro	8	1247	10627.846	758.454	adultrap	0
2023	março	8	1247	10627.846	758.454	adultrap	0
2023	abril	8	1247	10627.846	758.454	adultrap	0
2023	maio	8	1247	10627.846	758.454	adultrap	0
2022	dezembro	8	1248	11285.294	1463.000	ovitrampa	82
2023	janeiro	8	1248	11285.294	1463.000	ovitrampa	0
2023	fevereiro	8	1248	11285.294	1463.000	ovitrampa	0
2023	março	8	1248	11285.294	1463.000	ovitrampa	0
2023	abril	8	1248	11285.294	1463.000	ovitrampa	0

2023	maio	8	1248	11285.294	1463.000	ovitrampa	0
2022	dezembro	8	1248	11285.294	1463.000	adultrap	0
2023	janeiro	8	1248	11285.294	1463.000	adultrap	0
2023	fevereiro	8	1248	11285.294	1463.000	adultrap	0
2023	março	8	1248	11285.294	1463.000	adultrap	0
2023	abril	8	1248	11285.294	1463.000	adultrap	0
2023	maio	8	1248	11285.294	1463.000	adultrap	0
2022	dezembro	8	1255	13566.884	467.303	ovitrampa	556
2023	janeiro	8	1255	13566.884	467.303	ovitrampa	0
2023	fevereiro	8	1255	13566.884	467.303	ovitrampa	108
2023	março	8	1255	13566.884	467.303	ovitrampa	322
2023	abril	8	1255	13566.884	467.303	ovitrampa	0
2023	maio	8	1255	13566.884	467.303	ovitrampa	0
2022	dezembro	8	1255	13566.884	467.303	adultrap	0
2023	janeiro	8	1255	13566.884	467.303	adultrap	1
2023	fevereiro	8	1255	13566.884	467.303	adultrap	0
2023	março	8	1255	13566.884	467.303	adultrap	0
2023	abril	8	1255	13566.884	467.303	adultrap	0
2023	maio	8	1255	13566.884	467.303	adultrap	0
2022	dezembro	8	1259	16274.005	402.672	ovitrampa	285
2023	janeiro	8	1259	16274.005	402.672	ovitrampa	242
2023	fevereiro	8	1259	16274.005	402.672	ovitrampa	0
2023	março	8	1259	16274.005	402.672	ovitrampa	415
2023	abril	8	1259	16274.005	402.672	ovitrampa	0
2023	maio	8	1259	16274.005	402.672	ovitrampa	0
2022	dezembro	8	1259	16274.005	402.672	adultrap	1
2023	janeiro	8	1259	16274.005	402.672	adultrap	1
2023	fevereiro	8	1259	16274.005	402.672	adultrap	0
2023	março	8	1259	16274.005	402.672	adultrap	0
2023	abril	8	1259	16274.005	402.672	adultrap	1
2023	maio	8	1259	16274.005	402.672	adultrap	0
2022	dezembro	8	1265	14899.663	404.995	ovitrampa	520
2023	janeiro	8	1265	14899.663	404.995	ovitrampa	447
2023	fevereiro	8	1265	14899.663	404.995	ovitrampa	412
2023	março	8	1265	14899.663	404.995	ovitrampa	355
2023	abril	8	1265	14899.663	404.995	ovitrampa	63
2023	maio	8	1265	14899.663	404.995	ovitrampa	108
2022	dezembro	8	1265	14899.663	404.995	adultrap	1
2023	janeiro	8	1265	14899.663	404.995	adultrap	1
2023	fevereiro	8	1265	14899.663	404.995	adultrap	0
2023	março	8	1265	14899.663	404.995	adultrap	0
2023	abril	8	1265	14899.663	404.995	adultrap	0

2023	maio	8	1265	14899.663	404.995	adultrap	0
2022	dezembro	8	1268	16233.269	3461.868	ovitrampa	534
2023	janeiro	8	1268	16233.269	3461.868	ovitrampa	0
2023	fevereiro	8	1268	16233.269	3461.868	ovitrampa	143
2023	março	8	1268	16233.269	3461.868	ovitrampa	211
2023	abril	8	1268	16233.269	3461.868	ovitrampa	0
2023	maio	8	1268	16233.269	3461.868	ovitrampa	220
2022	dezembro	8	1268	16233.269	3461.868	adultrap	1
2023	janeiro	8	1268	16233.269	3461.868	adultrap	0
2023	fevereiro	8	1268	16233.269	3461.868	adultrap	0
2023	março	8	1268	16233.269	3461.868	adultrap	1
2023	abril	8	1268	16233.269	3461.868	adultrap	0
2023	maio	8	1268	16233.269	3461.868	adultrap	0
2022	dezembro	8	1343	19929.031	495.820	ovitrampa	259
2023	janeiro	8	1343	19929.031	495.820	ovitrampa	133
2023	fevereiro	8	1343	19929.031	495.820	ovitrampa	368
2023	março	8	1343	19929.031	495.820	ovitrampa	224
2023	abril	8	1343	19929.031	495.820	ovitrampa	69
2023	maio	8	1343	19929.031	495.820	ovitrampa	11
2022	dezembro	8	1343	19929.031	495.820	adultrap	1
2023	janeiro	8	1343	19929.031	495.820	adultrap	1
2023	fevereiro	8	1343	19929.031	495.820	adultrap	0
2023	março	8	1343	19929.031	495.820	adultrap	0
2023	abril	8	1343	19929.031	495.820	adultrap	2
2023	maio	8	1343	19929.031	495.820	adultrap	0
2022	dezembro	7	1649	7579.716	2669.298	ovitrampa	1
2023	janeiro	7	1649	7579.716	2669.298	ovitrampa	0
2023	fevereiro	7	1649	7579.716	2669.298	ovitrampa	0
2023	março	7	1649	7579.716	2669.298	ovitrampa	98
2023	abril	7	1649	7579.716	2669.298	ovitrampa	0
2023	maio	7	1649	7579.716	2669.298	ovitrampa	2
2022	dezembro	7	1649	7579.716	2669.298	adultrap	1
2023	janeiro	7	1649	7579.716	2669.298	adultrap	0
2023	fevereiro	7	1649	7579.716	2669.298	adultrap	0
2023	março	7	1649	7579.716	2669.298	adultrap	0
2023	abril	7	1649	7579.716	2669.298	adultrap	1
2023	maio	7	1649	7579.716	2669.298	adultrap	0
2022	dezembro	7	1693	5365.846	1043.066	ovitrampa	194
2023	janeiro	7	1693	5365.846	1043.066	ovitrampa	0
2023	fevereiro	7	1693	5365.846	1043.066	ovitrampa	103
2023	março	7	1693	5365.846	1043.066	ovitrampa	0
2023	abril	7	1693	5365.846	1043.066	ovitrampa	374

2023	maio	7	1693	5365.846	1043.066	ovitrampa	0
2022	dezembro	7	1693	5365.846	1043.066	adultrap	4
2023	janeiro	7	1693	5365.846	1043.066	adultrap	0
2023	fevereiro	7	1693	5365.846	1043.066	adultrap	0
2023	março	7	1693	5365.846	1043.066	adultrap	0
2023	abril	7	1693	5365.846	1043.066	adultrap	0
2023	maio	7	1693	5365.846	1043.066	adultrap	0
2022	dezembro	7	1702	8377.694	673.979	ovitrampa	0
2023	janeiro	7	1702	8377.694	673.979	ovitrampa	0
2023	fevereiro	7	1702	8377.694	673.979	ovitrampa	0
2023	março	7	1702	8377.694	673.979	ovitrampa	0
2023	abril	7	1702	8377.694	673.979	ovitrampa	0
2023	maio	7	1702	8377.694	673.979	ovitrampa	34
2022	dezembro	7	1702	8377.694	673.979	adultrap	0
2023	janeiro	7	1702	8377.694	673.979	adultrap	0
2023	fevereiro	7	1702	8377.694	673.979	adultrap	0
2023	março	7	1702	8377.694	673.979	adultrap	0
2023	abril	7	1702	8377.694	673.979	adultrap	0
2023	maio	7	1702	8377.694	673.979	adultrap	0
2022	dezembro	7	1746	9762.531	368.955	ovitrampa	412
2023	janeiro	7	1746	9762.531	368.955	ovitrampa	232
2023	fevereiro	7	1746	9762.531	368.955	ovitrampa	444
2023	março	7	1746	9762.531	368.955	ovitrampa	1096
2023	abril	7	1746	9762.531	368.955	ovitrampa	702
2023	maio	7	1746	9762.531	368.955	ovitrampa	353
2022	dezembro	7	1746	9762.531	368.955	adultrap	2
2023	janeiro	7	1746	9762.531	368.955	adultrap	3
2023	fevereiro	7	1746	9762.531	368.955	adultrap	1
2023	março	7	1746	9762.531	368.955	adultrap	1
2023	abril	7	1746	9762.531	368.955	adultrap	1
2023	maio	7	1746	9762.531	368.955	adultrap	0
2022	dezembro	7	1754	11605.465	562.328	ovitrampa	576
2023	janeiro	7	1754	11605.465	562.328	ovitrampa	258
2023	fevereiro	7	1754	11605.465	562.328	ovitrampa	118
2023	março	7	1754	11605.465	562.328	ovitrampa	72
2023	abril	7	1754	11605.465	562.328	ovitrampa	87
2023	maio	7	1754	11605.465	562.328	ovitrampa	220
2022	dezembro	7	1754	11605.465	562.328	adultrap	0
2023	janeiro	7	1754	11605.465	562.328	adultrap	0
2023	fevereiro	7	1754	11605.465	562.328	adultrap	0
2023	março	7	1754	11605.465	562.328	adultrap	0
2023	abril	7	1754	11605.465	562.328	adultrap	0

2023	maio	7	1754	11605.465	562.328	adultrap	0
2022	dezembro	7	1757	13313.747	323.075	ovitrampa	253
2023	janeiro	7	1757	13313.747	323.075	ovitrampa	384
2023	fevereiro	7	1757	13313.747	323.075	ovitrampa	0
2023	março	7	1757	13313.747	323.075	ovitrampa	86
2023	abril	7	1757	13313.747	323.075	ovitrampa	173
2023	maio	7	1757	13313.747	323.075	ovitrampa	58
2022	dezembro	7	1757	13313.747	323.075	adultrap	5
2023	janeiro	7	1757	13313.747	323.075	adultrap	3
2023	fevereiro	7	1757	13313.747	323.075	adultrap	1
2023	março	7	1757	13313.747	323.075	adultrap	0
2023	abril	7	1757	13313.747	323.075	adultrap	3
2023	maio	7	1757	13313.747	323.075	adultrap	0
2022	dezembro	7	1759	6214.933	352.630	ovitrampa	371
2023	janeiro	7	1759	6214.933	352.630	ovitrampa	0
2023	fevereiro	7	1759	6214.933	352.630	ovitrampa	203
2023	março	7	1759	6214.933	352.630	ovitrampa	112
2023	abril	7	1759	6214.933	352.630	ovitrampa	70
2023	maio	7	1759	6214.933	352.630	ovitrampa	23
2022	dezembro	7	1759	6214.933	352.630	adultrap	3
2023	janeiro	7	1759	6214.933	352.630	adultrap	0
2023	fevereiro	7	1759	6214.933	352.630	adultrap	0
2023	março	7	1759	6214.933	352.630	adultrap	0
2023	abril	7	1759	6214.933	352.630	adultrap	0
2023	maio	7	1759	6214.933	352.630	adultrap	0
2022	dezembro	7	1774	8734.415	2515.775	ovitrampa	0
2023	janeiro	7	1774	8734.415	2515.775	ovitrampa	0
2023	fevereiro	7	1774	8734.415	2515.775	ovitrampa	0
2023	março	7	1774	8734.415	2515.775	ovitrampa	0
2023	abril	7	1774	8734.415	2515.775	ovitrampa	0
2023	maio	7	1774	8734.415	2515.775	ovitrampa	0
2022	dezembro	7	1774	8734.415	2515.775	adultrap	0
2023	janeiro	7	1774	8734.415	2515.775	adultrap	0
2023	fevereiro	7	1774	8734.415	2515.775	adultrap	0
2023	março	7	1774	8734.415	2515.775	adultrap	0
2023	abril	7	1774	8734.415	2515.775	adultrap	2
2023	maio	7	1774	8734.415	2515.775	adultrap	0
2022	dezembro	7	1788	5417.243	567.446	adultrap	0
2023	janeiro	7	1788	5417.243	567.446	adultrap	0
2023	fevereiro	7	1788	5417.243	567.446	adultrap	0
2023	março	7	1788	5417.243	567.446	adultrap	0
2023	abril	7	1788	5417.243	567.446	adultrap	0

2023	maio	7	1788	5417.243	567.446	adultrap	0
2022	dezembro	7	1837	5023.416	293.090	adultrap	0
2023	janeiro	7	1837	5023.416	293.090	adultrap	0
2023	fevereiro	7	1837	5023.416	293.090	adultrap	0
2023	março	7	1837	5023.416	293.090	adultrap	1
2023	abril	7	1837	5023.416	293.090	adultrap	0
2023	maio	7	1837	5023.416	293.090	adultrap	0
2022	dezembro	6	1884	8479.252	691.138	adultrap	0
2023	janeiro	6	1884	8479.252	691.138	adultrap	0
2023	fevereiro	6	1884	8479.252	691.138	adultrap	0
2023	março	6	1884	8479.252	691.138	adultrap	1
2023	abril	6	1884	8479.252	691.138	adultrap	0
2023	maio	6	1884	8479.252	691.138	adultrap	0
2022	dezembro	6	1889	8532.727	425.714	adultrap	0
2023	janeiro	6	1889	8532.727	425.714	adultrap	0
2023	fevereiro	6	1889	8532.727	425.714	adultrap	0
2023	março	6	1889	8532.727	425.714	adultrap	0
2023	abril	6	1889	8532.727	425.714	adultrap	0
2023	maio	6	1889	8532.727	425.714	adultrap	0
2022	dezembro	6	1895	6223.709	298.220	ovitrampa	1185
2023	janeiro	6	1895	6223.709	298.220	ovitrampa	284
2023	fevereiro	6	1895	6223.709	298.220	ovitrampa	781
2023	março	6	1895	6223.709	298.220	ovitrampa	203
2023	abril	6	1895	6223.709	298.220	ovitrampa	46
2023	maio	6	1895	6223.709	298.220	ovitrampa	341
2022	dezembro	6	1895	6223.709	298.220	adultrap	0
2023	janeiro	6	1895	6223.709	298.220	adultrap	1
2023	fevereiro	6	1895	6223.709	298.220	adultrap	0
2023	março	6	1895	6223.709	298.220	adultrap	0
2023	abril	6	1895	6223.709	298.220	adultrap	1
2023	maio	6	1895	6223.709	298.220	adultrap	0
2022	dezembro	6	1896	5063.901	649.810	adultrap	0
2023	janeiro	6	1896	5063.901	649.810	adultrap	0
2023	fevereiro	6	1896	5063.901	649.810	adultrap	0
2023	março	6	1896	5063.901	649.810	adultrap	0
2023	abril	6	1896	5063.901	649.810	adultrap	0
2023	maio	6	1896	5063.901	649.810	adultrap	0
2022	dezembro	6	1902	8702.956	281.216	adultrap	0
2023	janeiro	6	1902	8702.956	281.216	adultrap	0
2023	fevereiro	6	1902	8702.956	281.216	adultrap	0
2023	março	6	1902	8702.956	281.216	adultrap	0
2023	abril	6	1902	8702.956	281.216	adultrap	0

2023	maio	6	1902	8702.956	281.216	adultrap	0
2022	dezembro	6	1921	14133.677	3365.908	ovitrampa	109
2023	janeiro	6	1921	14133.677	3365.908	ovitrampa	139
2023	fevereiro	6	1921	14133.677	3365.908	ovitrampa	94
2023	março	6	1921	14133.677	3365.908	ovitrampa	0
2023	abril	6	1921	14133.677	3365.908	ovitrampa	0
2023	maio	6	1921	14133.677	3365.908	ovitrampa	29
2022	dezembro	6	1921	14133.677	3365.908	adultrap	0
2023	janeiro	6	1921	14133.677	3365.908	adultrap	0
2023	fevereiro	6	1921	14133.677	3365.908	adultrap	3
2023	março	6	1921	14133.677	3365.908	adultrap	11
2023	abril	6	1921	14133.677	3365.908	adultrap	8
2023	maio	6	1921	14133.677	3365.908	adultrap	10
2022	dezembro	6	1922	15085.663	341.947	ovitrampa	789
2023	janeiro	6	1922	15085.663	341.947	ovitrampa	581
2023	fevereiro	6	1922	15085.663	341.947	ovitrampa	529
2023	março	6	1922	15085.663	341.947	ovitrampa	341
2023	abril	6	1922	15085.663	341.947	ovitrampa	387
2023	maio	6	1922	15085.663	341.947	ovitrampa	164
2022	dezembro	6	1922	15085.663	341.947	adultrap	3
2023	janeiro	6	1922	15085.663	341.947	adultrap	0
2023	fevereiro	6	1922	15085.663	341.947	adultrap	2
2023	março	6	1922	15085.663	341.947	adultrap	0
2023	abril	6	1922	15085.663	341.947	adultrap	0
2023	maio	6	1922	15085.663	341.947	adultrap	3
2022	dezembro	6	1927	14181.809	1412.322	adultrap	0
2023	janeiro	6	1927	14181.809	1412.322	adultrap	0
2023	fevereiro	6	1927	14181.809	1412.322	adultrap	0
2023	março	6	1927	14181.809	1412.322	adultrap	0
2023	abril	6	1927	14181.809	1412.322	adultrap	0
2023	maio	6	1927	14181.809	1412.322	adultrap	0
2022	dezembro	6	1942	11656.911	1779.360	ovitrampa	214
2023	janeiro	6	1942	11656.911	1779.360	ovitrampa	110
2023	fevereiro	6	1942	11656.911	1779.360	ovitrampa	161
2023	março	6	1942	11656.911	1779.360	ovitrampa	294
2023	abril	6	1942	11656.911	1779.360	ovitrampa	43
2023	maio	6	1942	11656.911	1779.360	ovitrampa	78
2022	dezembro	6	1942	11656.911	1779.360	adultrap	0
2023	janeiro	6	1942	11656.911	1779.360	adultrap	0
2023	fevereiro	6	1942	11656.911	1779.360	adultrap	0
2023	março	6	1942	11656.911	1779.360	adultrap	0
2023	abril	6	1942	11656.911	1779.360	adultrap	0

2023	maio	6	1942	11656.911	1779.360	adultrap	0
2022	dezembro	6	1953	9484.771	799.581	ovitrampa	0
2023	janeiro	6	1953	9484.771	799.581	ovitrampa	0
2023	fevereiro	6	1953	9484.771	799.581	ovitrampa	0
2023	março	6	1953	9484.771	799.581	ovitrampa	0
2023	abril	6	1953	9484.771	799.581	ovitrampa	0
2023	maio	6	1953	9484.771	799.581	ovitrampa	0
2022	dezembro	6	1953	9484.771	799.581	adultrap	0
2023	janeiro	6	1953	9484.771	799.581	adultrap	0
2023	fevereiro	6	1953	9484.771	799.581	adultrap	1
2023	março	6	1953	9484.771	799.581	adultrap	0
2023	abril	6	1953	9484.771	799.581	adultrap	0
2023	maio	6	1953	9484.771	799.581	adultrap	0
2022	dezembro	6	1958	15417.412	1336.979	adultrap	0
2023	janeiro	6	1958	15417.412	1336.979	adultrap	0
2023	fevereiro	6	1958	15417.412	1336.979	adultrap	0
2023	março	6	1958	15417.412	1336.979	adultrap	0
2023	abril	6	1958	15417.412	1336.979	adultrap	0
2023	maio	6	1958	15417.412	1336.979	adultrap	0
2022	dezembro	6	1965	12720.762	1054.125	ovitrampa	648
2023	janeiro	6	1965	12720.762	1054.125	ovitrampa	244
2023	fevereiro	6	1965	12720.762	1054.125	ovitrampa	0
2023	março	6	1965	12720.762	1054.125	ovitrampa	388
2023	abril	6	1965	12720.762	1054.125	ovitrampa	0
2023	maio	6	1965	12720.762	1054.125	ovitrampa	0
2022	dezembro	6	1965	12720.762	1054.125	adultrap	1
2023	janeiro	6	1965	12720.762	1054.125	adultrap	0
2023	fevereiro	6	1965	12720.762	1054.125	adultrap	3
2023	março	6	1965	12720.762	1054.125	adultrap	11
2023	abril	6	1965	12720.762	1054.125	adultrap	1
2023	maio	6	1965	12720.762	1054.125	adultrap	0
2022	dezembro	6	1968	9770.053	3062.082	ovitrampa	110
2023	janeiro	6	1968	9770.053	3062.082	ovitrampa	0
2023	fevereiro	6	1968	9770.053	3062.082	ovitrampa	0
2023	março	6	1968	9770.053	3062.082	ovitrampa	186
2023	abril	6	1968	9770.053	3062.082	ovitrampa	0
2023	maio	6	1968	9770.053	3062.082	ovitrampa	0
2022	dezembro	6	1968	9770.053	3062.082	adultrap	0
2023	janeiro	6	1968	9770.053	3062.082	adultrap	0
2023	fevereiro	6	1968	9770.053	3062.082	adultrap	0
2023	março	6	1968	9770.053	3062.082	adultrap	0
2023	abril	6	1968	9770.053	3062.082	adultrap	0

2023	maio	6	1968	9770.053	3062.082	adultrap	0
2022	dezembro	6	1976	14012.103	932.483	ovitrampa	353
2023	janeiro	6	1976	14012.103	932.483	ovitrampa	0
2023	fevereiro	6	1976	14012.103	932.483	ovitrampa	0
2023	março	6	1976	14012.103	932.483	ovitrampa	446
2023	abril	6	1976	14012.103	932.483	ovitrampa	59
2023	maio	6	1976	14012.103	932.483	ovitrampa	0
2022	dezembro	6	1976	14012.103	932.483	adultrap	1
2023	janeiro	6	1976	14012.103	932.483	adultrap	0
2023	fevereiro	6	1976	14012.103	932.483	adultrap	0
2023	março	6	1976	14012.103	932.483	adultrap	0
2023	abril	6	1976	14012.103	932.483	adultrap	0
2023	maio	6	1976	14012.103	932.483	adultrap	0
2022	dezembro	6	1977	9568.387	271.568	ovitrampa	1127
2023	janeiro	6	1977	9568.387	271.568	ovitrampa	420
2023	fevereiro	6	1977	9568.387	271.568	ovitrampa	141
2023	março	6	1977	9568.387	271.568	ovitrampa	175
2023	abril	6	1977	9568.387	271.568	ovitrampa	586
2023	maio	6	1977	9568.387	271.568	ovitrampa	68
2022	dezembro	6	1977	9568.387	271.568	adultrap	0
2023	janeiro	6	1977	9568.387	271.568	adultrap	0
2023	fevereiro	6	1977	9568.387	271.568	adultrap	0
2023	março	6	1977	9568.387	271.568	adultrap	0
2023	abril	6	1977	9568.387	271.568	adultrap	1
2023	maio	6	1977	9568.387	271.568	adultrap	0
2022	dezembro	6	1979	13770.760	1148.486	ovitrampa	603
2023	janeiro	6	1979	13770.760	1148.486	ovitrampa	0
2023	fevereiro	6	1979	13770.760	1148.486	ovitrampa	332
2023	março	6	1979	13770.760	1148.486	ovitrampa	415
2023	abril	6	1979	13770.760	1148.486	ovitrampa	0
2023	maio	6	1979	13770.760	1148.486	ovitrampa	76
2022	dezembro	6	1979	13770.760	1148.486	adultrap	0
2023	janeiro	6	1979	13770.760	1148.486	adultrap	0
2023	fevereiro	6	1979	13770.760	1148.486	adultrap	0
2023	março	6	1979	13770.760	1148.486	adultrap	0
2023	abril	6	1979	13770.760	1148.486	adultrap	0
2023	maio	6	1979	13770.760	1148.486	adultrap	0
2022	dezembro	6	1993	8985.279	1289.723	adultrap	0
2023	janeiro	6	1993	8985.279	1289.723	adultrap	0
2023	fevereiro	6	1993	8985.279	1289.723	adultrap	0
2023	março	6	1993	8985.279	1289.723	adultrap	3
2023	abril	6	1993	8985.279	1289.723	adultrap	0

2023	maio	6	1993	8985.279	1289.723	adultrap	0
2022	dezembro	4	2320	17914.612	735.892	ovitrampa	199
2023	janeiro	4	2320	17914.612	735.892	ovitrampa	498
2023	fevereiro	4	2320	17914.612	735.892	ovitrampa	376
2023	março	4	2320	17914.612	735.892	ovitrampa	247
2023	abril	4	2320	17914.612	735.892	ovitrampa	81
2023	maio	4	2320	17914.612	735.892	ovitrampa	142
2022	dezembro	4	2320	17914.612	735.892	adultrap	2
2023	janeiro	4	2320	17914.612	735.892	adultrap	2
2023	fevereiro	4	2320	17914.612	735.892	adultrap	1
2023	março	4	2320	17914.612	735.892	adultrap	0
2023	abril	4	2320	17914.612	735.892	adultrap	0
2023	maio	4	2320	17914.612	735.892	adultrap	0
2022	dezembro	4	2326	11811.889	231.552	ovitrampa	0
2023	janeiro	4	2326	11811.889	231.552	ovitrampa	0
2023	fevereiro	4	2326	11811.889	231.552	ovitrampa	0
2023	março	4	2326	11811.889	231.552	ovitrampa	0
2023	abril	4	2326	11811.889	231.552	ovitrampa	0
2023	maio	4	2326	11811.889	231.552	ovitrampa	0
2022	dezembro	4	2326	11811.889	231.552	adultrap	0
2023	janeiro	4	2326	11811.889	231.552	adultrap	2
2023	fevereiro	4	2326	11811.889	231.552	adultrap	1
2023	março	4	2326	11811.889	231.552	adultrap	0
2023	abril	4	2326	11811.889	231.552	adultrap	4
2023	maio	4	2326	11811.889	231.552	adultrap	1
2022	dezembro	4	2327	9803.896	916.376	ovitrampa	26
2023	janeiro	4	2327	9803.896	916.376	ovitrampa	95
2023	fevereiro	4	2327	9803.896	916.376	ovitrampa	98
2023	março	4	2327	9803.896	916.376	ovitrampa	126
2023	abril	4	2327	9803.896	916.376	ovitrampa	85
2023	maio	4	2327	9803.896	916.376	ovitrampa	1
2022	dezembro	4	2327	9803.896	916.376	adultrap	8
2023	janeiro	4	2327	9803.896	916.376	adultrap	4
2023	fevereiro	4	2327	9803.896	916.376	adultrap	6
2023	março	4	2327	9803.896	916.376	adultrap	0
2023	abril	4	2327	9803.896	916.376	adultrap	3
2023	maio	4	2327	9803.896	916.376	adultrap	0
2022	dezembro	4	2329	12818.818	933.938	ovitrampa	219
2023	janeiro	4	2329	12818.818	933.938	ovitrampa	198
2023	fevereiro	4	2329	12818.818	933.938	ovitrampa	270
2023	março	4	2329	12818.818	933.938	ovitrampa	77
2023	abril	4	2329	12818.818	933.938	ovitrampa	97

2023	maio	4	2329	12818.818	933.938	ovitrampa	280
2022	dezembro	4	2329	12818.818	933.938	adultrap	5
2023	janeiro	4	2329	12818.818	933.938	adultrap	9
2023	fevereiro	4	2329	12818.818	933.938	adultrap	1
2023	março	4	2329	12818.818	933.938	adultrap	0
2023	abril	4	2329	12818.818	933.938	adultrap	18
2023	maio	4	2329	12818.818	933.938	adultrap	4
2022	dezembro	4	2332	8038.860	595.443	ovitrampa	183
2023	janeiro	4	2332	8038.860	595.443	ovitrampa	173
2023	fevereiro	4	2332	8038.860	595.443	ovitrampa	111
2023	março	4	2332	8038.860	595.443	ovitrampa	84
2023	abril	4	2332	8038.860	595.443	ovitrampa	99
2023	maio	4	2332	8038.860	595.443	ovitrampa	27
2022	dezembro	4	2332	8038.860	595.443	adultrap	1
2023	janeiro	4	2332	8038.860	595.443	adultrap	1
2023	fevereiro	4	2332	8038.860	595.443	adultrap	0
2023	março	4	2332	8038.860	595.443	adultrap	0
2023	abril	4	2332	8038.860	595.443	adultrap	0
2023	maio	4	2332	8038.860	595.443	adultrap	0
2022	dezembro	4	2335	11665.038	2117.846	adultrap	1
2023	janeiro	4	2335	11665.038	2117.846	adultrap	0
2023	fevereiro	4	2335	11665.038	2117.846	adultrap	0
2023	março	4	2335	11665.038	2117.846	adultrap	0
2023	abril	4	2335	11665.038	2117.846	adultrap	0
2023	maio	4	2335	11665.038	2117.846	adultrap	0
2022	dezembro	4	2335	11665.038	2117.846	ovitrampa	47
2023	janeiro	4	2335	11665.038	2117.846	ovitrampa	0
2023	fevereiro	4	2335	11665.038	2117.846	ovitrampa	0
2023	março	4	2335	11665.038	2117.846	ovitrampa	0
2023	abril	4	2335	11665.038	2117.846	ovitrampa	229
2023	maio	4	2335	11665.038	2117.846	ovitrampa	0
2022	dezembro	4	2341	10849.225	369.061	adultrap	1
2023	janeiro	4	2341	10849.225	369.061	adultrap	0
2023	fevereiro	4	2341	10849.225	369.061	adultrap	0
2023	março	4	2341	10849.225	369.061	adultrap	0
2023	abril	4	2341	10849.225	369.061	adultrap	0
2023	maio	4	2341	10849.225	369.061	adultrap	1
2022	dezembro	4	2341	10849.225	369.061	ovitrampa	450
2023	janeiro	4	2341	10849.225	369.061	ovitrampa	381
2023	fevereiro	4	2341	10849.225	369.061	ovitrampa	95
2023	março	4	2341	10849.225	369.061	ovitrampa	204
2023	abril	4	2341	10849.225	369.061	ovitrampa	215

2023	maio	4	2341	10849.225	369.061	ovitrampa	60
2022	dezembro	4	2344	13035.534	197.631	adultrap	2
2023	janeiro	4	2344	13035.534	197.631	adultrap	6
2023	fevereiro	4	2344	13035.534	197.631	adultrap	1
2023	março	4	2344	13035.534	197.631	adultrap	0
2023	abril	4	2344	13035.534	197.631	adultrap	0
2023	maio	4	2344	13035.534	197.631	adultrap	0
2022	dezembro	4	2344	13035.534	197.631	ovitrampa	241
2023	janeiro	4	2344	13035.534	197.631	ovitrampa	0
2023	fevereiro	4	2344	13035.534	197.631	ovitrampa	162
2023	março	4	2344	13035.534	197.631	ovitrampa	214
2023	abril	4	2344	13035.534	197.631	ovitrampa	0
2023	maio	4	2344	13035.534	197.631	ovitrampa	198
2022	dezembro	4	2354	8434.871	1083.348	adultrap	0
2023	janeiro	4	2354	8434.871	1083.348	adultrap	4
2023	fevereiro	4	2354	8434.871	1083.348	adultrap	2
2023	março	4	2354	8434.871	1083.348	adultrap	0
2023	abril	4	2354	8434.871	1083.348	adultrap	1
2023	maio	4	2354	8434.871	1083.348	adultrap	0
2022	dezembro	4	2354	8434.871	1083.348	ovitrampa	88
2023	janeiro	4	2354	8434.871	1083.348	ovitrampa	79
2023	fevereiro	4	2354	8434.871	1083.348	ovitrampa	0
2023	março	4	2354	8434.871	1083.348	ovitrampa	27
2023	abril	4	2354	8434.871	1083.348	ovitrampa	72
2023	maio	4	2354	8434.871	1083.348	ovitrampa	32
2022	dezembro	4	2355	8885.507	458.963	adultrap	2
2023	janeiro	4	2355	8885.507	458.963	adultrap	1
2023	fevereiro	4	2355	8885.507	458.963	adultrap	0
2023	março	4	2355	8885.507	458.963	adultrap	0
2023	abril	4	2355	8885.507	458.963	adultrap	3
2023	maio	4	2355	8885.507	458.963	adultrap	0
2022	dezembro	4	2362	33138.357	6068.480	adultrap	2
2023	janeiro	4	2362	33138.357	6068.480	adultrap	1
2023	fevereiro	4	2362	33138.357	6068.480	adultrap	0
2023	março	4	2362	33138.357	6068.480	adultrap	0
2023	abril	4	2362	33138.357	6068.480	adultrap	0
2023	maio	4	2362	33138.357	6068.480	adultrap	0
2022	dezembro	4	2362	33138.357	6068.480	ovitrampa	141
2023	janeiro	4	2362	33138.357	6068.480	ovitrampa	0
2023	fevereiro	4	2362	33138.357	6068.480	ovitrampa	360
2023	março	4	2362	33138.357	6068.480	ovitrampa	54
2023	abril	4	2362	33138.357	6068.480	ovitrampa	146

2023	maio	4	2362	33138.357	6068.480	ovitrampa	101
2022	dezembro	4	2363	9102.238	921.543	adultrap	0
2023	janeiro	4	2363	9102.238	921.543	adultrap	0
2023	fevereiro	4	2363	9102.238	921.543	adultrap	0
2023	março	4	2363	9102.238	921.543	adultrap	0
2023	abril	4	2363	9102.238	921.543	adultrap	0
2023	maio	4	2363	9102.238	921.543	adultrap	0
2022	dezembro	4	2363	9102.238	921.543	ovitrampa	150
2023	janeiro	4	2363	9102.238	921.543	ovitrampa	7
2023	fevereiro	4	2363	9102.238	921.543	ovitrampa	0
2023	março	4	2363	9102.238	921.543	ovitrampa	242
2023	abril	4	2363	9102.238	921.543	ovitrampa	161
2023	maio	4	2363	9102.238	921.543	ovitrampa	10
2022	dezembro	4	2368	9546.594	683.358	adultrap	2
2023	janeiro	4	2368	9546.594	683.358	adultrap	2
2023	fevereiro	4	2368	9546.594	683.358	adultrap	1
2023	março	4	2368	9546.594	683.358	adultrap	0
2023	abril	4	2368	9546.594	683.358	adultrap	0
2023	maio	4	2368	9546.594	683.358	adultrap	0
2022	dezembro	4	2368	9546.594	683.358	ovitrampa	418
2023	janeiro	4	2368	9546.594	683.358	ovitrampa	0
2023	fevereiro	4	2368	9546.594	683.358	ovitrampa	233
2023	março	4	2368	9546.594	683.358	ovitrampa	195
2023	abril	4	2368	9546.594	683.358	ovitrampa	103
2023	maio	4	2368	9546.594	683.358	ovitrampa	0
2022	dezembro	4	2371	7363.182	182.102	adultrap	1
2023	janeiro	4	2371	7363.182	182.102	adultrap	1
2023	fevereiro	4	2371	7363.182	182.102	adultrap	1
2023	março	4	2371	7363.182	182.102	adultrap	0
2023	abril	4	2371	7363.182	182.102	adultrap	1
2023	maio	4	2371	7363.182	182.102	adultrap	0
2022	dezembro	4	2371	7363.182	182.102	ovitrampa	460
2023	janeiro	4	2371	7363.182	182.102	ovitrampa	225
2023	fevereiro	4	2371	7363.182	182.102	ovitrampa	22
2023	março	4	2371	7363.182	182.102	ovitrampa	276
2023	abril	4	2371	7363.182	182.102	ovitrampa	234
2023	maio	4	2371	7363.182	182.102	ovitrampa	13
2022	dezembro	4	2390	6051.688	219.601	adultrap	1
2023	janeiro	4	2390	6051.688	219.601	adultrap	1
2023	fevereiro	4	2390	6051.688	219.601	adultrap	2
2023	março	4	2390	6051.688	219.601	adultrap	0
2023	abril	4	2390	6051.688	219.601	adultrap	4

2023	maio	4	2390	6051.688	219.601	adultrap	11
2022	dezembro	4	2390	6051.688	219.601	ovitrampa	165
2023	janeiro	4	2390	6051.688	219.601	ovitrampa	389
2023	fevereiro	4	2390	6051.688	219.601	ovitrampa	75
2023	março	4	2390	6051.688	219.601	ovitrampa	227
2023	abril	4	2390	6051.688	219.601	ovitrampa	346
2023	maio	4	2390	6051.688	219.601	ovitrampa	2
2022	dezembro	4	2398	8865.386	858.030	adultrap	2
2023	janeiro	4	2398	8865.386	858.030	adultrap	0
2023	fevereiro	4	2398	8865.386	858.030	adultrap	0
2023	março	4	2398	8865.386	858.030	adultrap	0
2023	abril	4	2398	8865.386	858.030	adultrap	5
2023	maio	4	2398	8865.386	858.030	adultrap	0
2022	dezembro	4	2398	8865.386	858.030	ovitrampa	180
2023	janeiro	4	2398	8865.386	858.030	ovitrampa	0
2023	fevereiro	4	2398	8865.386	858.030	ovitrampa	121
2023	março	4	2398	8865.386	858.030	ovitrampa	165
2023	abril	4	2398	8865.386	858.030	ovitrampa	101
2023	maio	4	2398	8865.386	858.030	ovitrampa	0
2022	dezembro	4	2399	9588.367	790.221	adultrap	0
2023	janeiro	4	2399	9588.367	790.221	adultrap	6
2023	fevereiro	4	2399	9588.367	790.221	adultrap	5
2023	março	4	2399	9588.367	790.221	adultrap	0
2023	abril	4	2399	9588.367	790.221	adultrap	8
2023	maio	4	2399	9588.367	790.221	adultrap	5
2022	dezembro	4	2399	9588.367	790.221	ovitrampa	9
2023	janeiro	4	2399	9588.367	790.221	ovitrampa	95
2023	fevereiro	4	2399	9588.367	790.221	ovitrampa	52
2023	março	4	2399	9588.367	790.221	ovitrampa	59
2023	abril	4	2399	9588.367	790.221	ovitrampa	37
2023	maio	4	2399	9588.367	790.221	ovitrampa	131
2022	dezembro	4	2403	61775.962	32805.577	adultrap	0
2023	janeiro	4	2403	61775.962	32805.577	adultrap	0
2023	fevereiro	4	2403	61775.962	32805.577	adultrap	0
2023	março	4	2403	61775.962	32805.577	adultrap	0
2023	abril	4	2403	61775.962	32805.577	adultrap	0
2023	maio	4	2403	61775.962	32805.577	adultrap	0
2022	dezembro	4	2403	61775.962	32805.577	ovitrampa	150
2023	janeiro	4	2403	61775.962	32805.577	ovitrampa	443
2023	fevereiro	4	2403	61775.962	32805.577	ovitrampa	242
2023	março	4	2403	61775.962	32805.577	ovitrampa	244
2023	abril	4	2403	61775.962	32805.577	ovitrampa	186

2023	maio	4	2403	61775.962	32805.577	ovitrampa	0
2022	dezembro	4	2427	13444.636	538.107	adultrap	8
2023	janeiro	4	2427	13444.636	538.107	adultrap	1
2023	fevereiro	4	2427	13444.636	538.107	adultrap	0
2023	março	4	2427	13444.636	538.107	adultrap	0
2023	abril	4	2427	13444.636	538.107	adultrap	0
2023	maio	4	2427	13444.636	538.107	adultrap	0
2022	dezembro	4	2427	13444.636	538.107	ovitrampa	57
2023	janeiro	4	2427	13444.636	538.107	ovitrampa	0
2023	fevereiro	4	2427	13444.636	538.107	ovitrampa	0
2023	março	4	2427	13444.636	538.107	ovitrampa	90
2023	abril	4	2427	13444.636	538.107	ovitrampa	215
2023	maio	4	2427	13444.636	538.107	ovitrampa	78
2022	dezembro	4	2429	14657.010	685.448	adultrap	3
2023	janeiro	4	2429	14657.010	685.448	adultrap	0
2023	fevereiro	4	2429	14657.010	685.448	adultrap	0
2023	março	4	2429	14657.010	685.448	adultrap	0
2023	abril	4	2429	14657.010	685.448	adultrap	0
2023	maio	4	2429	14657.010	685.448	adultrap	0
2022	dezembro	4	2429	14657.010	685.448	ovitrampa	226
2023	janeiro	4	2429	14657.010	685.448	ovitrampa	232
2023	fevereiro	4	2429	14657.010	685.448	ovitrampa	174
2023	março	4	2429	14657.010	685.448	ovitrampa	155
2023	abril	4	2429	14657.010	685.448	ovitrampa	20
2023	maio	4	2429	14657.010	685.448	ovitrampa	0
2022	dezembro	4	2431	10765.623	7941.195	adultrap	1
2023	janeiro	4	2431	10765.623	7941.195	adultrap	0
2023	fevereiro	4	2431	10765.623	7941.195	adultrap	0
2023	março	4	2431	10765.623	7941.195	adultrap	0
2023	abril	4	2431	10765.623	7941.195	adultrap	1
2023	maio	4	2431	10765.623	7941.195	adultrap	0
2022	dezembro	4	2431	10765.623	7941.195	ovitrampa	946
2023	janeiro	4	2431	10765.623	7941.195	ovitrampa	103
2023	fevereiro	4	2431	10765.623	7941.195	ovitrampa	0
2023	março	4	2431	10765.623	7941.195	ovitrampa	1065
2023	abril	4	2431	10765.623	7941.195	ovitrampa	647
2023	maio	4	2431	10765.623	7941.195	ovitrampa	149
2022	dezembro	5	2507	7489.661	887.399	adultrap	2
2023	janeiro	5	2507	7489.661	887.399	adultrap	0
2023	fevereiro	5	2507	7489.661	887.399	adultrap	0
2023	março	5	2507	7489.661	887.399	adultrap	0
2023	abril	5	2507	7489.661	887.399	adultrap	0

2023	maio	5	2507	7489.661	887.399	adultrap	0
2022	dezembro	5	2507	7489.661	887.399	ovitrampa	446
2023	janeiro	5	2507	7489.661	887.399	ovitrampa	346
2023	fevereiro	5	2507	7489.661	887.399	ovitrampa	718
2023	março	5	2507	7489.661	887.399	ovitrampa	420
2023	abril	5	2507	7489.661	887.399	ovitrampa	102
2023	maio	5	2507	7489.661	887.399	ovitrampa	87
2022	dezembro	5	2512	47739.634	1747.890	adultrap	0
2023	janeiro	5	2512	47739.634	1747.890	adultrap	0
2023	fevereiro	5	2512	47739.634	1747.890	adultrap	0
2023	março	5	2512	47739.634	1747.890	adultrap	0
2023	abril	5	2512	47739.634	1747.890	adultrap	0
2023	maio	5	2512	47739.634	1747.890	adultrap	0
2022	dezembro	5	2512	47739.634	1747.890	ovitrampa	67
2023	janeiro	5	2512	47739.634	1747.890	ovitrampa	139
2023	fevereiro	5	2512	47739.634	1747.890	ovitrampa	46
2023	março	5	2512	47739.634	1747.890	ovitrampa	182
2023	abril	5	2512	47739.634	1747.890	ovitrampa	27
2023	maio	5	2512	47739.634	1747.890	ovitrampa	42
2022	dezembro	5	2514	18310.692	645.815	adultrap	0
2023	janeiro	5	2514	18310.692	645.815	adultrap	4
2023	fevereiro	5	2514	18310.692	645.815	adultrap	4
2023	março	5	2514	18310.692	645.815	adultrap	7
2023	abril	5	2514	18310.692	645.815	adultrap	1
2023	maio	5	2514	18310.692	645.815	adultrap	0
2022	dezembro	5	2514	18310.692	645.815	ovitrampa	514
2023	janeiro	5	2514	18310.692	645.815	ovitrampa	310
2023	fevereiro	5	2514	18310.692	645.815	ovitrampa	41
2023	março	5	2514	18310.692	645.815	ovitrampa	601
2023	abril	5	2514	18310.692	645.815	ovitrampa	0
2023	maio	5	2514	18310.692	645.815	ovitrampa	0
2022	dezembro	5	2517	18380.707	888.582	adultrap	0
2023	janeiro	5	2517	18380.707	888.582	adultrap	0
2023	fevereiro	5	2517	18380.707	888.582	adultrap	0
2023	março	5	2517	18380.707	888.582	adultrap	0
2023	abril	5	2517	18380.707	888.582	adultrap	0
2023	maio	5	2517	18380.707	888.582	adultrap	0
2022	dezembro	5	2517	18380.707	888.582	ovitrampa	812
2023	janeiro	5	2517	18380.707	888.582	ovitrampa	0
2023	fevereiro	5	2517	18380.707	888.582	ovitrampa	565
2023	março	5	2517	18380.707	888.582	ovitrampa	1095
2023	abril	5	2517	18380.707	888.582	ovitrampa	170

2023	maio	5	2517	18380.707	888.582	ovitrampa	59
2022	dezembro	5	2518	18344.086	2123.436	adultrap	4
2023	janeiro	5	2518	18344.086	2123.436	adultrap	8
2023	fevereiro	5	2518	18344.086	2123.436	adultrap	2
2023	março	5	2518	18344.086	2123.436	adultrap	9
2023	abril	5	2518	18344.086	2123.436	adultrap	3
2023	maio	5	2518	18344.086	2123.436	adultrap	0
2022	dezembro	5	2518	18344.086	2123.436	ovitrampa	361
2023	janeiro	5	2518	18344.086	2123.436	ovitrampa	627
2023	fevereiro	5	2518	18344.086	2123.436	ovitrampa	161
2023	março	5	2518	18344.086	2123.436	ovitrampa	921
2023	abril	5	2518	18344.086	2123.436	ovitrampa	410
2023	maio	5	2518	18344.086	2123.436	ovitrampa	549
2022	dezembro	5	2521	5171.173	2532.812	adultrap	0
2023	janeiro	5	2521	5171.173	2532.812	adultrap	0
2023	fevereiro	5	2521	5171.173	2532.812	adultrap	0
2023	março	5	2521	5171.173	2532.812	adultrap	0
2023	abril	5	2521	5171.173	2532.812	adultrap	0
2023	maio	5	2521	5171.173	2532.812	adultrap	0
2022	dezembro	5	2521	5171.173	2532.812	ovitrampa	137
2023	janeiro	5	2521	5171.173	2532.812	ovitrampa	0
2023	fevereiro	5	2521	5171.173	2532.812	ovitrampa	70
2023	março	5	2521	5171.173	2532.812	ovitrampa	174
2023	abril	5	2521	5171.173	2532.812	ovitrampa	127
2023	maio	5	2521	5171.173	2532.812	ovitrampa	0
2022	dezembro	5	2523	9729.842	587.957	adultrap	0
2023	janeiro	5	2523	9729.842	587.957	adultrap	0
2023	fevereiro	5	2523	9729.842	587.957	adultrap	0
2023	março	5	2523	9729.842	587.957	adultrap	0
2023	abril	5	2523	9729.842	587.957	adultrap	0
2023	maio	5	2523	9729.842	587.957	adultrap	0
2022	dezembro	5	2523	9729.842	587.957	ovitrampa	120
2023	janeiro	5	2523	9729.842	587.957	ovitrampa	5
2023	fevereiro	5	2523	9729.842	587.957	ovitrampa	1
2023	março	5	2523	9729.842	587.957	ovitrampa	0
2023	abril	5	2523	9729.842	587.957	ovitrampa	0
2023	maio	5	2523	9729.842	587.957	ovitrampa	20
2022	dezembro	5	2528	15848.965	3443.167	adultrap	1
2023	janeiro	5	2528	15848.965	3443.167	adultrap	0
2023	fevereiro	5	2528	15848.965	3443.167	adultrap	0
2023	março	5	2528	15848.965	3443.167	adultrap	0
2023	abril	5	2528	15848.965	3443.167	adultrap	0

2023	maio	5	2528	15848.965	3443.167	adultrap	0
2022	dezembro	5	2528	15848.965	3443.167	ovitrampa	123
2023	janeiro	5	2528	15848.965	3443.167	ovitrampa	97
2023	fevereiro	5	2528	15848.965	3443.167	ovitrampa	31
2023	março	5	2528	15848.965	3443.167	ovitrampa	18
2023	abril	5	2528	15848.965	3443.167	ovitrampa	28
2023	maio	5	2528	15848.965	3443.167	ovitrampa	224
2022	dezembro	5	2530	18696.279	664.907	adultrap	0
2023	janeiro	5	2530	18696.279	664.907	adultrap	3
2023	fevereiro	5	2530	18696.279	664.907	adultrap	0
2023	março	5	2530	18696.279	664.907	adultrap	2
2023	abril	5	2530	18696.279	664.907	adultrap	0
2023	maio	5	2530	18696.279	664.907	adultrap	0
2022	dezembro	5	2530	18696.279	664.907	ovitrampa	431
2023	janeiro	5	2530	18696.279	664.907	ovitrampa	209
2023	fevereiro	5	2530	18696.279	664.907	ovitrampa	603
2023	março	5	2530	18696.279	664.907	ovitrampa	286
2023	abril	5	2530	18696.279	664.907	ovitrampa	0
2023	maio	5	2530	18696.279	664.907	ovitrampa	116
2022	dezembro	5	2535	10087.422	696.251	adultrap	0
2023	janeiro	5	2535	10087.422	696.251	adultrap	0
2023	fevereiro	5	2535	10087.422	696.251	adultrap	1
2023	março	5	2535	10087.422	696.251	adultrap	0
2023	abril	5	2535	10087.422	696.251	adultrap	1
2023	maio	5	2535	10087.422	696.251	adultrap	0
2022	dezembro	5	2535	10087.422	696.251	ovitrampa	378
2023	janeiro	5	2535	10087.422	696.251	ovitrampa	0
2023	fevereiro	5	2535	10087.422	696.251	ovitrampa	0
2023	março	5	2535	10087.422	696.251	ovitrampa	75
2023	abril	5	2535	10087.422	696.251	ovitrampa	0
2023	maio	5	2535	10087.422	696.251	ovitrampa	0
2022	dezembro	5	2539	9837.081	5745.322	adultrap	0
2023	janeiro	5	2539	9837.081	5745.322	adultrap	2
2023	fevereiro	5	2539	9837.081	5745.322	adultrap	0
2023	março	5	2539	9837.081	5745.322	adultrap	0
2023	abril	5	2539	9837.081	5745.322	adultrap	0
2023	maio	5	2539	9837.081	5745.322	adultrap	0
2022	dezembro	5	2542	9818.467	343.639	adultrap	0
2023	janeiro	5	2542	9818.467	343.639	adultrap	0
2023	fevereiro	5	2542	9818.467	343.639	adultrap	0
2023	março	5	2542	9818.467	343.639	adultrap	2
2023	abril	5	2542	9818.467	343.639	adultrap	1

2023	maio	5	2542	9818.467	343.639	adultrap	0
2022	dezembro	5	2542	9818.467	343.639	ovitrampa	389
2023	janeiro	5	2542	9818.467	343.639	ovitrampa	113
2023	fevereiro	5	2542	9818.467	343.639	ovitrampa	76
2023	março	5	2542	9818.467	343.639	ovitrampa	355
2023	abril	5	2542	9818.467	343.639	ovitrampa	98
2023	maio	5	2542	9818.467	343.639	ovitrampa	153
2022	dezembro	5	2544	9803.623	705.219	adultrap	0
2023	janeiro	5	2544	9803.623	705.219	adultrap	3
2023	fevereiro	5	2544	9803.623	705.219	adultrap	9
2023	março	5	2544	9803.623	705.219	adultrap	9
2023	abril	5	2544	9803.623	705.219	adultrap	18
2023	maio	5	2544	9803.623	705.219	adultrap	20
2022	dezembro	5	2544	9803.623	705.219	ovitrampa	331
2023	janeiro	5	2544	9803.623	705.219	ovitrampa	28
2023	fevereiro	5	2544	9803.623	705.219	ovitrampa	0
2023	março	5	2544	9803.623	705.219	ovitrampa	65
2023	abril	5	2544	9803.623	705.219	ovitrampa	153
2023	maio	5	2544	9803.623	705.219	ovitrampa	210
2022	dezembro	5	2558	10343.338	2993.544	adultrap	0
2023	janeiro	5	2558	10343.338	2993.544	adultrap	0
2023	fevereiro	5	2558	10343.338	2993.544	adultrap	0
2023	março	5	2558	10343.338	2993.544	adultrap	0
2023	abril	5	2558	10343.338	2993.544	adultrap	0
2023	maio	5	2558	10343.338	2993.544	adultrap	1
2022	dezembro	5	2558	10343.338	2993.544	ovitrampa	338
2023	janeiro	5	2558	10343.338	2993.544	ovitrampa	192
2023	fevereiro	5	2558	10343.338	2993.544	ovitrampa	175
2023	março	5	2558	10343.338	2993.544	ovitrampa	293
2023	abril	5	2558	10343.338	2993.544	ovitrampa	29
2023	maio	5	2558	10343.338	2993.544	ovitrampa	16
2022	dezembro	5	2561	20467.504	947.935	adultrap	2
2023	janeiro	5	2561	20467.504	947.935	adultrap	2
2023	fevereiro	5	2561	20467.504	947.935	adultrap	1
2023	março	5	2561	20467.504	947.935	adultrap	0
2023	abril	5	2561	20467.504	947.935	adultrap	0
2023	maio	5	2561	20467.504	947.935	adultrap	0
2022	dezembro	5	2561	20467.504	947.935	ovitrampa	427
2023	janeiro	5	2561	20467.504	947.935	ovitrampa	549
2023	fevereiro	5	2561	20467.504	947.935	ovitrampa	544
2023	março	5	2561	20467.504	947.935	ovitrampa	371
2023	abril	5	2561	20467.504	947.935	ovitrampa	256

2023	maio	5	2561	20467.504	947.935	ovitrampa	146
2022	dezembro	5	2570	13763.358	430.385	adultrap	6
2023	janeiro	5	2570	13763.358	430.385	adultrap	4
2023	fevereiro	5	2570	13763.358	430.385	adultrap	1
2023	março	5	2570	13763.358	430.385	adultrap	0
2023	abril	5	2570	13763.358	430.385	adultrap	0
2023	maio	5	2570	13763.358	430.385	adultrap	0
2022	dezembro	5	2570	13763.358	430.385	ovitrampa	202
2023	janeiro	5	2570	13763.358	430.385	ovitrampa	394
2023	fevereiro	5	2570	13763.358	430.385	ovitrampa	295
2023	março	5	2570	13763.358	430.385	ovitrampa	785
2023	abril	5	2570	13763.358	430.385	ovitrampa	278
2023	maio	5	2570	13763.358	430.385	ovitrampa	4
2022	dezembro	5	2573	15003.983	961.675	adultrap	0
2023	janeiro	5	2573	15003.983	961.675	adultrap	1
2023	fevereiro	5	2573	15003.983	961.675	adultrap	1
2023	março	5	2573	15003.983	961.675	adultrap	0
2023	abril	5	2573	15003.983	961.675	adultrap	0
2023	maio	5	2573	15003.983	961.675	adultrap	0
2022	dezembro	5	2573	15003.983	961.675	ovitrampa	1430
2023	janeiro	5	2573	15003.983	961.675	ovitrampa	297
2023	fevereiro	5	2573	15003.983	961.675	ovitrampa	1140
2023	março	5	2573	15003.983	961.675	ovitrampa	164
2023	abril	5	2573	15003.983	961.675	ovitrampa	0
2023	maio	5	2573	15003.983	961.675	ovitrampa	0
2022	dezembro	5	2578	16103.091	2070.799	adultrap	1
2023	janeiro	5	2578	16103.091	2070.799	adultrap	0
2023	fevereiro	5	2578	16103.091	2070.799	adultrap	1
2023	março	5	2578	16103.091	2070.799	adultrap	0
2023	abril	5	2578	16103.091	2070.799	adultrap	0
2023	maio	5	2578	16103.091	2070.799	adultrap	0
2022	dezembro	5	2578	16103.091	2070.799	ovitrampa	537
2023	janeiro	5	2578	16103.091	2070.799	ovitrampa	106
2023	fevereiro	5	2578	16103.091	2070.799	ovitrampa	80
2023	março	5	2578	16103.091	2070.799	ovitrampa	214
2023	abril	5	2578	16103.091	2070.799	ovitrampa	109
2023	maio	5	2578	16103.091	2070.799	ovitrampa	195
2022	dezembro	5	2582	28530.577	6089.527	adultrap	0
2023	janeiro	5	2582	28530.577	6089.527	adultrap	0
2023	fevereiro	5	2582	28530.577	6089.527	adultrap	0
2023	março	5	2582	28530.577	6089.527	adultrap	0
2023	abril	5	2582	28530.577	6089.527	adultrap	0

2023	maio	5	2582	28530.577	6089.527	adultrap	2
2022	dezembro	5	2582	28530.577	6089.527	ovitrampa	34
2023	janeiro	5	2582	28530.577	6089.527	ovitrampa	322
2023	fevereiro	5	2582	28530.577	6089.527	ovitrampa	93
2023	março	5	2582	28530.577	6089.527	ovitrampa	891
2023	abril	5	2582	28530.577	6089.527	ovitrampa	284
2023	maio	5	2582	28530.577	6089.527	ovitrampa	123
2022	dezembro	5	2590	5234.680	1138.533	adultrap	0
2023	janeiro	5	2590	5234.680	1138.533	adultrap	0
2023	fevereiro	5	2590	5234.680	1138.533	adultrap	0
2023	março	5	2590	5234.680	1138.533	adultrap	0
2023	abril	5	2590	5234.680	1138.533	adultrap	2
2023	maio	5	2590	5234.680	1138.533	adultrap	0
2022	dezembro	5	2590	5234.680	1138.533	ovitrampa	319
2023	janeiro	5	2590	5234.680	1138.533	ovitrampa	0
2023	fevereiro	5	2590	5234.680	1138.533	ovitrampa	186
2023	março	5	2590	5234.680	1138.533	ovitrampa	103
2023	abril	5	2590	5234.680	1138.533	ovitrampa	0
2023	maio	5	2590	5234.680	1138.533	ovitrampa	72
2022	dezembro	5	2596	67140.710	60709.192	adultrap	0
2023	janeiro	5	2596	67140.710	60709.192	adultrap	0
2023	fevereiro	5	2596	67140.710	60709.192	adultrap	1
2023	março	5	2596	67140.710	60709.192	adultrap	0
2023	abril	5	2596	67140.710	60709.192	adultrap	0
2023	maio	5	2596	67140.710	60709.192	adultrap	0
2022	dezembro	3	2718	14446.907	908.115	adultrap	0
2023	janeiro	3	2718	14446.907	908.115	adultrap	0
2023	fevereiro	3	2718	14446.907	908.115	adultrap	0
2023	março	3	2718	14446.907	908.115	adultrap	0
2023	abril	3	2718	14446.907	908.115	adultrap	0
2023	maio	3	2718	14446.907	908.115	adultrap	0
2022	dezembro	3	2720	18024.783	7532.432	adultrap	5
2023	janeiro	3	2720	18024.783	7532.432	adultrap	17
2023	fevereiro	3	2720	18024.783	7532.432	adultrap	0
2023	março	3	2720	18024.783	7532.432	adultrap	12
2023	abril	3	2720	18024.783	7532.432	adultrap	22
2023	maio	3	2720	18024.783	7532.432	adultrap	0
2022	dezembro	3	2720	18024.783	7532.432	ovitrampa	87
2023	janeiro	3	2720	18024.783	7532.432	ovitrampa	234
2023	fevereiro	3	2720	18024.783	7532.432	ovitrampa	104
2023	março	3	2720	18024.783	7532.432	ovitrampa	153
2023	abril	3	2720	18024.783	7532.432	ovitrampa	152

2023	maio	3	2720	18024.783	7532.432	ovitrampa	123
2022	dezembro	3	2721	18272.925	4661.443	adultrap	0
2023	janeiro	3	2721	18272.925	4661.443	adultrap	1
2023	fevereiro	3	2721	18272.925	4661.443	adultrap	0
2023	março	3	2721	18272.925	4661.443	adultrap	28
2023	abril	3	2721	18272.925	4661.443	adultrap	18
2023	maio	3	2721	18272.925	4661.443	adultrap	0
2022	dezembro	3	2721	18272.925	4661.443	ovitrampa	299
2023	janeiro	3	2721	18272.925	4661.443	ovitrampa	18
2023	fevereiro	3	2721	18272.925	4661.443	ovitrampa	0
2023	março	3	2721	18272.925	4661.443	ovitrampa	107
2023	abril	3	2721	18272.925	4661.443	ovitrampa	220
2023	maio	3	2721	18272.925	4661.443	ovitrampa	130
2022	dezembro	3	2728	12031.073	466.716	adultrap	4
2023	janeiro	3	2728	12031.073	466.716	adultrap	1
2023	fevereiro	3	2728	12031.073	466.716	adultrap	0
2023	março	3	2728	12031.073	466.716	adultrap	3
2023	abril	3	2728	12031.073	466.716	adultrap	2
2023	maio	3	2728	12031.073	466.716	adultrap	0
2022	dezembro	3	2731	10168.857	474.770	adultrap	0
2023	janeiro	3	2731	10168.857	474.770	adultrap	0
2023	fevereiro	3	2731	10168.857	474.770	adultrap	0
2023	março	3	2731	10168.857	474.770	adultrap	0
2023	abril	3	2731	10168.857	474.770	adultrap	0
2023	maio	3	2731	10168.857	474.770	adultrap	0
2022	dezembro	3	2731	10168.857	474.770	ovitrampa	365
2023	janeiro	3	2731	10168.857	474.770	ovitrampa	0
2023	fevereiro	3	2731	10168.857	474.770	ovitrampa	316
2023	março	3	2731	10168.857	474.770	ovitrampa	153
2023	abril	3	2731	10168.857	474.770	ovitrampa	0
2023	maio	3	2731	10168.857	474.770	ovitrampa	0
2022	dezembro	3	2733	11474.445	2060.431	adultrap	0
2023	janeiro	3	2733	11474.445	2060.431	adultrap	1
2023	fevereiro	3	2733	11474.445	2060.431	adultrap	0
2023	março	3	2733	11474.445	2060.431	adultrap	0
2023	abril	3	2733	11474.445	2060.431	adultrap	0
2023	maio	3	2733	11474.445	2060.431	adultrap	0
2022	dezembro	3	2733	11474.445	2060.431	ovitrampa	119
2023	janeiro	3	2733	11474.445	2060.431	ovitrampa	0
2023	fevereiro	3	2733	11474.445	2060.431	ovitrampa	23
2023	março	3	2733	11474.445	2060.431	ovitrampa	0
2023	abril	3	2733	11474.445	2060.431	ovitrampa	176

2023	maio	3	2733	11474.445	2060.431	ovitrampa	0
2022	dezembro	3	2735	13225.174	296.105	adultrap	0
2023	janeiro	3	2735	13225.174	296.105	adultrap	2
2023	fevereiro	3	2735	13225.174	296.105	adultrap	0
2023	março	3	2735	13225.174	296.105	adultrap	0
2023	abril	3	2735	13225.174	296.105	adultrap	0
2023	maio	3	2735	13225.174	296.105	adultrap	0
2022	dezembro	3	2735	13225.174	296.105	ovitrampa	510
2023	janeiro	3	2735	13225.174	296.105	ovitrampa	493
2023	fevereiro	3	2735	13225.174	296.105	ovitrampa	41
2023	março	3	2735	13225.174	296.105	ovitrampa	0
2023	abril	3	2735	13225.174	296.105	ovitrampa	0
2023	maio	3	2735	13225.174	296.105	ovitrampa	11
2022	dezembro	3	2738	18057.119	1276.354	adultrap	1
2023	janeiro	3	2738	18057.119	1276.354	adultrap	1
2023	fevereiro	3	2738	18057.119	1276.354	adultrap	0
2023	março	3	2738	18057.119	1276.354	adultrap	1
2023	abril	3	2738	18057.119	1276.354	adultrap	0
2023	maio	3	2738	18057.119	1276.354	adultrap	1
2022	dezembro	3	2744	14448.863	359.995	adultrap	6
2023	janeiro	3	2744	14448.863	359.995	adultrap	7
2023	fevereiro	3	2744	14448.863	359.995	adultrap	1
2023	março	3	2744	14448.863	359.995	adultrap	16
2023	abril	3	2744	14448.863	359.995	adultrap	0
2023	maio	3	2744	14448.863	359.995	adultrap	2
2022	dezembro	3	2744	14448.863	359.995	ovitrampa	380
2023	janeiro	3	2744	14448.863	359.995	ovitrampa	630
2023	fevereiro	3	2744	14448.863	359.995	ovitrampa	17
2023	março	3	2744	14448.863	359.995	ovitrampa	303
2023	abril	3	2744	14448.863	359.995	ovitrampa	215
2023	maio	3	2744	14448.863	359.995	ovitrampa	80
2022	dezembro	3	2746	17743.161	7063.878	adultrap	1
2023	janeiro	3	2746	17743.161	7063.878	adultrap	2
2023	fevereiro	3	2746	17743.161	7063.878	adultrap	0
2023	março	3	2746	17743.161	7063.878	adultrap	1
2023	abril	3	2746	17743.161	7063.878	adultrap	10
2023	maio	3	2746	17743.161	7063.878	adultrap	0
2022	dezembro	3	2746	17743.161	7063.878	ovitrampa	160
2023	janeiro	3	2746	17743.161	7063.878	ovitrampa	68
2023	fevereiro	3	2746	17743.161	7063.878	ovitrampa	48
2023	março	3	2746	17743.161	7063.878	ovitrampa	178
2023	abril	3	2746	17743.161	7063.878	ovitrampa	80

2023	maio	3	2746	17743.161	7063.878	ovitrampa	49
2022	dezembro	3	2749	13229.946	2179.786	adultrap	1
2023	janeiro	3	2749	13229.946	2179.786	adultrap	0
2023	fevereiro	3	2749	13229.946	2179.786	adultrap	0
2023	março	3	2749	13229.946	2179.786	adultrap	0
2023	abril	3	2749	13229.946	2179.786	adultrap	0
2023	maio	3	2749	13229.946	2179.786	adultrap	0
2022	dezembro	3	2749	13229.946	2179.786	ovitrampa	0
2023	janeiro	3	2749	13229.946	2179.786	ovitrampa	0
2023	fevereiro	3	2749	13229.946	2179.786	ovitrampa	0
2023	março	3	2749	13229.946	2179.786	ovitrampa	0
2023	abril	3	2749	13229.946	2179.786	ovitrampa	0
2023	maio	3	2749	13229.946	2179.786	ovitrampa	0
2022	dezembro	3	2752	17549.807	7684.576	adultrap	2
2023	janeiro	3	2752	17549.807	7684.576	adultrap	0
2023	fevereiro	3	2752	17549.807	7684.576	adultrap	0
2023	março	3	2752	17549.807	7684.576	adultrap	0
2023	abril	3	2752	17549.807	7684.576	adultrap	0
2023	maio	3	2752	17549.807	7684.576	adultrap	0
2022	dezembro	3	2753	14539.999	3115.720	adultrap	0
2023	janeiro	3	2753	14539.999	3115.720	adultrap	0
2023	fevereiro	3	2753	14539.999	3115.720	adultrap	0
2023	março	3	2753	14539.999	3115.720	adultrap	0
2023	abril	3	2753	14539.999	3115.720	adultrap	0
2023	maio	3	2753	14539.999	3115.720	adultrap	0
2022	dezembro	3	2758	13770.849	1649.627	adultrap	0
2023	janeiro	3	2758	13770.849	1649.627	adultrap	4
2023	fevereiro	3	2758	13770.849	1649.627	adultrap	0
2023	março	3	2758	13770.849	1649.627	adultrap	0
2023	abril	3	2758	13770.849	1649.627	adultrap	0
2023	maio	3	2758	13770.849	1649.627	adultrap	2
2022	dezembro	3	2758	13770.849	1649.627	ovitrampa	41
2023	janeiro	3	2758	13770.849	1649.627	ovitrampa	67
2023	fevereiro	3	2758	13770.849	1649.627	ovitrampa	0
2023	março	3	2758	13770.849	1649.627	ovitrampa	0
2023	abril	3	2758	13770.849	1649.627	ovitrampa	1
2023	maio	3	2758	13770.849	1649.627	ovitrampa	61
2022	dezembro	3	2826	12086.999	490.251	adultrap	3
2023	janeiro	3	2826	12086.999	490.251	adultrap	0
2023	fevereiro	3	2826	12086.999	490.251	adultrap	0
2023	março	3	2826	12086.999	490.251	adultrap	2
2023	abril	3	2826	12086.999	490.251	adultrap	0

2023	maio	3	2826	12086.999	490.251	adultrap	0
2022	dezembro	3	2829	11719.813	387.059	adultrap	0
2023	janeiro	3	2829	11719.813	387.059	adultrap	0
2023	fevereiro	3	2829	11719.813	387.059	adultrap	0
2023	março	3	2829	11719.813	387.059	adultrap	0
2023	abril	3	2829	11719.813	387.059	adultrap	0
2023	maio	3	2829	11719.813	387.059	adultrap	0
2022	dezembro	3	2831	9872.539	323.565	adultrap	1
2023	janeiro	3	2831	9872.539	323.565	adultrap	0
2023	fevereiro	3	2831	9872.539	323.565	adultrap	0
2023	março	3	2831	9872.539	323.565	adultrap	0
2023	abril	3	2831	9872.539	323.565	adultrap	0
2023	maio	3	2831	9872.539	323.565	adultrap	0
2022	dezembro	3	2831	9872.539	323.565	ovitrampa	342
2023	janeiro	3	2831	9872.539	323.565	ovitrampa	186
2023	fevereiro	3	2831	9872.539	323.565	ovitrampa	269
2023	março	3	2831	9872.539	323.565	ovitrampa	593
2023	abril	3	2831	9872.539	323.565	ovitrampa	145
2023	maio	3	2831	9872.539	323.565	ovitrampa	120
2022	dezembro	3	2832	13887.256	623.496	adultrap	0
2023	janeiro	3	2832	13887.256	623.496	adultrap	1
2023	fevereiro	3	2832	13887.256	623.496	adultrap	0
2023	março	3	2832	13887.256	623.496	adultrap	0
2023	abril	3	2832	13887.256	623.496	adultrap	0
2023	maio	3	2832	13887.256	623.496	adultrap	0
2022	dezembro	3	2837	15347.816	843.917	adultrap	2
2023	janeiro	3	2837	15347.816	843.917	adultrap	1
2023	fevereiro	3	2837	15347.816	843.917	adultrap	1
2023	março	3	2837	15347.816	843.917	adultrap	1
2023	abril	3	2837	15347.816	843.917	adultrap	0
2023	maio	3	2837	15347.816	843.917	adultrap	0
2022	dezembro	3	2838	29127.865	1436.089	adultrap	0
2023	janeiro	3	2838	29127.865	1436.089	adultrap	1
2023	fevereiro	3	2838	29127.865	1436.089	adultrap	0
2023	março	3	2838	29127.865	1436.089	adultrap	0
2023	abril	3	2838	29127.865	1436.089	adultrap	0
2023	maio	3	2838	29127.865	1436.089	adultrap	0
2022	dezembro	3	2841	32102.324	4996.769	adultrap	1
2023	janeiro	3	2841	32102.324	4996.769	adultrap	3
2023	fevereiro	3	2841	32102.324	4996.769	adultrap	0
2023	março	3	2841	32102.324	4996.769	adultrap	0
2023	abril	3	2841	32102.324	4996.769	adultrap	0

2023	maio	3	2841	32102.324	4996.769	adultrap	0
2022	dezembro	3	2841	32102.324	4996.769	ovitrampa	240
2023	janeiro	3	2841	32102.324	4996.769	ovitrampa	40
2023	fevereiro	3	2841	32102.324	4996.769	ovitrampa	291
2023	março	3	2841	32102.324	4996.769	ovitrampa	217
2023	abril	3	2841	32102.324	4996.769	ovitrampa	409
2023	maio	3	2841	32102.324	4996.769	ovitrampa	84
2022	dezembro	3	2843	10066.492	308.196	adultrap	4
2023	janeiro	3	2843	10066.492	308.196	adultrap	1
2023	fevereiro	3	2843	10066.492	308.196	adultrap	1
2023	março	3	2843	10066.492	308.196	adultrap	5
2023	abril	3	2843	10066.492	308.196	adultrap	5
2023	maio	3	2843	10066.492	308.196	adultrap	0
2022	dezembro	3	2843	10066.492	308.196	ovitrampa	406
2023	janeiro	3	2843	10066.492	308.196	ovitrampa	177
2023	fevereiro	3	2843	10066.492	308.196	ovitrampa	283
2023	março	3	2843	10066.492	308.196	ovitrampa	278
2023	abril	3	2843	10066.492	308.196	ovitrampa	102
2023	maio	3	2843	10066.492	308.196	ovitrampa	0
2022	dezembro	3	2846	13545.325	226.426	adultrap	0
2023	janeiro	3	2846	13545.325	226.426	adultrap	1
2023	fevereiro	3	2846	13545.325	226.426	adultrap	0
2023	março	3	2846	13545.325	226.426	adultrap	1
2023	abril	3	2846	13545.325	226.426	adultrap	0
2023	maio	3	2846	13545.325	226.426	adultrap	1
2022	dezembro	3	2847	14185.695	442.526	adultrap	3
2023	janeiro	3	2847	14185.695	442.526	adultrap	1
2023	fevereiro	3	2847	14185.695	442.526	adultrap	0
2023	março	3	2847	14185.695	442.526	adultrap	0
2023	abril	3	2847	14185.695	442.526	adultrap	6
2023	maio	3	2847	14185.695	442.526	adultrap	0
2022	dezembro	3	2847	14185.695	442.526	ovitrampa	151
2023	janeiro	3	2847	14185.695	442.526	ovitrampa	186
2023	fevereiro	3	2847	14185.695	442.526	ovitrampa	531
2023	março	3	2847	14185.695	442.526	ovitrampa	220
2023	abril	3	2847	14185.695	442.526	ovitrampa	24
2023	maio	3	2847	14185.695	442.526	ovitrampa	116
2022	dezembro	3	2853	13857.935	734.156	adultrap	0
2023	janeiro	3	2853	13857.935	734.156	adultrap	2
2023	fevereiro	3	2853	13857.935	734.156	adultrap	0
2023	março	3	2853	13857.935	734.156	adultrap	1
2023	abril	3	2853	13857.935	734.156	adultrap	0

2023	maio	3	2853	13857.935	734.156	adultrap	0
2022	dezembro	3	2853	13857.935	734.156	ovitrampa	535
2023	janeiro	3	2853	13857.935	734.156	ovitrampa	114
2023	fevereiro	3	2853	13857.935	734.156	ovitrampa	164
2023	março	3	2853	13857.935	734.156	ovitrampa	370
2023	abril	3	2853	13857.935	734.156	ovitrampa	223
2023	maio	3	2853	13857.935	734.156	ovitrampa	84
2022	dezembro	2	3281	14995.758	2731.646	adultrap	0
2023	janeiro	2	3281	14995.758	2731.646	adultrap	0
2023	fevereiro	2	3281	14995.758	2731.646	adultrap	0
2023	março	2	3281	14995.758	2731.646	adultrap	0
2023	abril	2	3281	14995.758	2731.646	adultrap	0
2023	maio	2	3281	14995.758	2731.646	adultrap	0
2022	dezembro	2	3281	14995.758	2731.646	ovitrampa	0
2023	janeiro	2	3281	14995.758	2731.646	ovitrampa	0
2023	fevereiro	2	3281	14995.758	2731.646	ovitrampa	0
2023	março	2	3281	14995.758	2731.646	ovitrampa	0
2023	abril	2	3281	14995.758	2731.646	ovitrampa	0
2023	maio	2	3281	14995.758	2731.646	ovitrampa	0
2022	dezembro	2	3284	7315.841	625.250	adultrap	1
2023	janeiro	2	3284	7315.841	625.250	adultrap	0
2023	fevereiro	2	3284	7315.841	625.250	adultrap	0
2023	março	2	3284	7315.841	625.250	adultrap	0
2023	abril	2	3284	7315.841	625.250	adultrap	0
2023	maio	2	3284	7315.841	625.250	adultrap	0
2022	dezembro	2	3284	7315.841	625.250	ovitrampa	401
2023	janeiro	2	3284	7315.841	625.250	ovitrampa	119
2023	fevereiro	2	3284	7315.841	625.250	ovitrampa	44
2023	março	2	3284	7315.841	625.250	ovitrampa	129
2023	abril	2	3284	7315.841	625.250	ovitrampa	177
2023	maio	2	3284	7315.841	625.250	ovitrampa	247
2022	dezembro	2	3288	18791.191	10206.442	adultrap	0
2023	janeiro	2	3288	18791.191	10206.442	adultrap	0
2023	fevereiro	2	3288	18791.191	10206.442	adultrap	0
2023	março	2	3288	18791.191	10206.442	adultrap	0
2023	abril	2	3288	18791.191	10206.442	adultrap	0
2023	maio	2	3288	18791.191	10206.442	adultrap	0
2022	dezembro	2	3288	18791.191	10206.442	ovitrampa	72
2023	janeiro	2	3288	18791.191	10206.442	ovitrampa	102
2023	fevereiro	2	3288	18791.191	10206.442	ovitrampa	63
2023	março	2	3288	18791.191	10206.442	ovitrampa	118
2023	abril	2	3288	18791.191	10206.442	ovitrampa	12

2023	maio	2	3288	18791.191	10206.442	ovitrampa	43
2022	dezembro	2	3324	53266.372	15314.827	adultrap	2
2023	janeiro	2	3324	53266.372	15314.827	adultrap	0
2023	fevereiro	2	3324	53266.372	15314.827	adultrap	0
2023	março	2	3324	53266.372	15314.827	adultrap	0
2023	abril	2	3324	53266.372	15314.827	adultrap	1
2023	maio	2	3324	53266.372	15314.827	adultrap	0
2022	dezembro	2	3324	53266.372	15314.827	ovitrampa	1
2023	janeiro	2	3324	53266.372	15314.827	ovitrampa	29
2023	fevereiro	2	3324	53266.372	15314.827	ovitrampa	0
2023	março	2	3324	53266.372	15314.827	ovitrampa	0
2023	abril	2	3324	53266.372	15314.827	ovitrampa	0
2023	maio	2	3324	53266.372	15314.827	ovitrampa	0
2022	dezembro	2	3325	14970.758	1674.499	adultrap	1
2023	janeiro	2	3325	14970.758	1674.499	adultrap	0
2023	fevereiro	2	3325	14970.758	1674.499	adultrap	5
2023	março	2	3325	14970.758	1674.499	adultrap	0
2023	abril	2	3325	14970.758	1674.499	adultrap	0
2023	maio	2	3325	14970.758	1674.499	adultrap	0
2022	dezembro	2	3325	14970.758	1674.499	ovitrampa	628
2023	janeiro	2	3325	14970.758	1674.499	ovitrampa	56
2023	fevereiro	2	3325	14970.758	1674.499	ovitrampa	0
2023	março	2	3325	14970.758	1674.499	ovitrampa	0
2023	abril	2	3325	14970.758	1674.499	ovitrampa	165
2023	maio	2	3325	14970.758	1674.499	ovitrampa	276
2022	dezembro	2	3326	47793.570	23025.959	adultrap	1
2023	janeiro	2	3326	47793.570	23025.959	adultrap	0
2023	fevereiro	2	3326	47793.570	23025.959	adultrap	0
2023	março	2	3326	47793.570	23025.959	adultrap	0
2023	abril	2	3326	47793.570	23025.959	adultrap	2
2023	maio	2	3326	47793.570	23025.959	adultrap	0
2022	dezembro	2	3326	47793.570	23025.959	ovitrampa	231
2023	janeiro	2	3326	47793.570	23025.959	ovitrampa	0
2023	fevereiro	2	3326	47793.570	23025.959	ovitrampa	0
2023	março	2	3326	47793.570	23025.959	ovitrampa	161
2023	abril	2	3326	47793.570	23025.959	ovitrampa	289
2023	maio	2	3326	47793.570	23025.959	ovitrampa	45
2022	dezembro	2	3327	5746.243	814.061	adultrap	1
2023	janeiro	2	3327	5746.243	814.061	adultrap	0
2023	fevereiro	2	3327	5746.243	814.061	adultrap	1
2023	março	2	3327	5746.243	814.061	adultrap	0
2023	abril	2	3327	5746.243	814.061	adultrap	1

2023	maio	2	3327	5746.243	814.061	adultrap	0
2022	dezembro	2	3327	5746.243	814.061	ovitrampa	0
2023	janeiro	2	3327	5746.243	814.061	ovitrampa	0
2023	fevereiro	2	3327	5746.243	814.061	ovitrampa	0
2023	março	2	3327	5746.243	814.061	ovitrampa	0
2023	abril	2	3327	5746.243	814.061	ovitrampa	0
2023	maio	2	3327	5746.243	814.061	ovitrampa	0
2022	dezembro	2	3329	6541.917	251.113	adultrap	3
2023	janeiro	2	3329	6541.917	251.113	adultrap	0
2023	fevereiro	2	3329	6541.917	251.113	adultrap	1
2023	março	2	3329	6541.917	251.113	adultrap	0
2023	abril	2	3329	6541.917	251.113	adultrap	0
2023	maio	2	3329	6541.917	251.113	adultrap	0
2022	dezembro	2	3329	6541.917	251.113	ovitrampa	78
2023	janeiro	2	3329	6541.917	251.113	ovitrampa	0
2023	fevereiro	2	3329	6541.917	251.113	ovitrampa	0
2023	março	2	3329	6541.917	251.113	ovitrampa	157
2023	abril	2	3329	6541.917	251.113	ovitrampa	639
2023	maio	2	3329	6541.917	251.113	ovitrampa	122
2022	dezembro	2	3333	9291.937	2753.579	adultrap	1
2023	janeiro	2	3333	9291.937	2753.579	adultrap	0
2023	fevereiro	2	3333	9291.937	2753.579	adultrap	2
2023	março	2	3333	9291.937	2753.579	adultrap	0
2023	abril	2	3333	9291.937	2753.579	adultrap	0
2023	maio	2	3333	9291.937	2753.579	adultrap	0
2022	dezembro	2	3333	9291.937	2753.579	ovitrampa	0
2023	janeiro	2	3333	9291.937	2753.579	ovitrampa	0
2023	fevereiro	2	3333	9291.937	2753.579	ovitrampa	0
2023	março	2	3333	9291.937	2753.579	ovitrampa	0
2023	abril	2	3333	9291.937	2753.579	ovitrampa	0
2023	maio	2	3333	9291.937	2753.579	ovitrampa	0
2022	dezembro	2	3335	17218.015	3660.838	adultrap	0
2023	janeiro	2	3335	17218.015	3660.838	adultrap	0
2023	fevereiro	2	3335	17218.015	3660.838	adultrap	0
2023	março	2	3335	17218.015	3660.838	adultrap	0
2023	abril	2	3335	17218.015	3660.838	adultrap	1
2023	maio	2	3335	17218.015	3660.838	adultrap	0
2022	dezembro	2	3335	17218.015	3660.838	ovitrampa	33
2023	janeiro	2	3335	17218.015	3660.838	ovitrampa	325
2023	fevereiro	2	3335	17218.015	3660.838	ovitrampa	0
2023	março	2	3335	17218.015	3660.838	ovitrampa	0
2023	abril	2	3335	17218.015	3660.838	ovitrampa	0

2023	maio	2	3335	17218.015	3660.838	ovitrampa	0
2022	dezembro	2	3342	18078.284	394.751	adultrap	1
2023	janeiro	2	3342	18078.284	394.751	adultrap	0
2023	fevereiro	2	3342	18078.284	394.751	adultrap	0
2023	março	2	3342	18078.284	394.751	adultrap	0
2023	abril	2	3342	18078.284	394.751	adultrap	0
2023	maio	2	3342	18078.284	394.751	adultrap	0
2022	dezembro	2	3342	18078.284	394.751	ovitrampa	62
2023	janeiro	2	3342	18078.284	394.751	ovitrampa	1
2023	fevereiro	2	3342	18078.284	394.751	ovitrampa	0
2023	março	2	3342	18078.284	394.751	ovitrampa	40
2023	abril	2	3342	18078.284	394.751	ovitrampa	1
2023	maio	2	3342	18078.284	394.751	ovitrampa	0
2022	dezembro	2	3343	42355.539	6110.326	adultrap	0
2023	janeiro	2	3343	42355.539	6110.326	adultrap	0
2023	fevereiro	2	3343	42355.539	6110.326	adultrap	0
2023	março	2	3343	42355.539	6110.326	adultrap	0
2023	abril	2	3343	42355.539	6110.326	adultrap	0
2023	maio	2	3343	42355.539	6110.326	adultrap	0
2022	dezembro	2	3343	42355.539	6110.326	ovitrampa	88
2023	janeiro	2	3343	42355.539	6110.326	ovitrampa	98
2023	fevereiro	2	3343	42355.539	6110.326	ovitrampa	29
2023	março	2	3343	42355.539	6110.326	ovitrampa	111
2023	abril	2	3343	42355.539	6110.326	ovitrampa	0
2023	maio	2	3343	42355.539	6110.326	ovitrampa	84
2022	dezembro	2	3344	7663.195	413.109	adultrap	0
2023	janeiro	2	3344	7663.195	413.109	adultrap	0
2023	fevereiro	2	3344	7663.195	413.109	adultrap	0
2023	março	2	3344	7663.195	413.109	adultrap	0
2023	abril	2	3344	7663.195	413.109	adultrap	0
2023	maio	2	3344	7663.195	413.109	adultrap	0
2022	dezembro	2	3345	81640.909	40138.440	adultrap	2
2023	janeiro	2	3345	81640.909	40138.440	adultrap	3
2023	fevereiro	2	3345	81640.909	40138.440	adultrap	0
2023	março	2	3345	81640.909	40138.440	adultrap	0
2023	abril	2	3345	81640.909	40138.440	adultrap	1
2023	maio	2	3345	81640.909	40138.440	adultrap	0
2022	dezembro	2	3345	81640.909	40138.440	ovitrampa	313
2023	janeiro	2	3345	81640.909	40138.440	ovitrampa	0
2023	fevereiro	2	3345	81640.909	40138.440	ovitrampa	0
2023	março	2	3345	81640.909	40138.440	ovitrampa	0
2023	abril	2	3345	81640.909	40138.440	ovitrampa	49

2023	maio	2	3345	81640.909	40138.440	ovitrampa	32
2022	dezembro	2	3347	13052.247	2882.755	adultrap	1
2023	janeiro	2	3347	13052.247	2882.755	adultrap	1
2023	fevereiro	2	3347	13052.247	2882.755	adultrap	3
2023	março	2	3347	13052.247	2882.755	adultrap	0
2023	abril	2	3347	13052.247	2882.755	adultrap	0
2023	maio	2	3347	13052.247	2882.755	adultrap	1
2022	dezembro	2	3347	13052.247	2882.755	ovitrampa	0
2023	janeiro	2	3347	13052.247	2882.755	ovitrampa	0
2023	fevereiro	2	3347	13052.247	2882.755	ovitrampa	0
2023	março	2	3347	13052.247	2882.755	ovitrampa	0
2023	abril	2	3347	13052.247	2882.755	ovitrampa	0
2023	maio	2	3347	13052.247	2882.755	ovitrampa	0
2022	dezembro	2	3352	5858.705	532.170	adultrap	0
2023	janeiro	2	3352	5858.705	532.170	adultrap	0
2023	fevereiro	2	3352	5858.705	532.170	adultrap	0
2023	março	2	3352	5858.705	532.170	adultrap	0
2023	abril	2	3352	5858.705	532.170	adultrap	0
2023	maio	2	3352	5858.705	532.170	adultrap	0
2022	dezembro	2	3352	5858.705	532.170	ovitrampa	18
2023	janeiro	2	3352	5858.705	532.170	ovitrampa	18
2023	fevereiro	2	3352	5858.705	532.170	ovitrampa	0
2023	março	2	3352	5858.705	532.170	ovitrampa	0
2023	abril	2	3352	5858.705	532.170	ovitrampa	1
2023	maio	2	3352	5858.705	532.170	ovitrampa	0
2022	dezembro	2	3360	9894.969	386.241	adultrap	4
2023	janeiro	2	3360	9894.969	386.241	adultrap	0
2023	fevereiro	2	3360	9894.969	386.241	adultrap	0
2023	março	2	3360	9894.969	386.241	adultrap	0
2023	abril	2	3360	9894.969	386.241	adultrap	0
2023	maio	2	3360	9894.969	386.241	adultrap	0
2022	dezembro	2	3360	9894.969	386.241	ovitrampa	225
2023	janeiro	2	3360	9894.969	386.241	ovitrampa	311
2023	fevereiro	2	3360	9894.969	386.241	ovitrampa	0
2023	março	2	3360	9894.969	386.241	ovitrampa	0
2023	abril	2	3360	9894.969	386.241	ovitrampa	165
2023	maio	2	3360	9894.969	386.241	ovitrampa	0
2022	dezembro	2	3365	9199.037	181.255	adultrap	0
2023	janeiro	2	3365	9199.037	181.255	adultrap	0
2023	fevereiro	2	3365	9199.037	181.255	adultrap	0
2023	março	2	3365	9199.037	181.255	adultrap	0
2023	abril	2	3365	9199.037	181.255	adultrap	0

2023	maio	2	3365	9199.037	181.255	adultrap	0
2022	dezembro	2	3365	9199.037	181.255	ovitrampa	372
2023	janeiro	2	3365	9199.037	181.255	ovitrampa	197
2023	fevereiro	2	3365	9199.037	181.255	ovitrampa	0
2023	março	2	3365	9199.037	181.255	ovitrampa	453
2023	abril	2	3365	9199.037	181.255	ovitrampa	50
2023	maio	2	3365	9199.037	181.255	ovitrampa	0
2022	dezembro	2	3367	11790.439	193.452	adultrap	0
2023	janeiro	2	3367	11790.439	193.452	adultrap	3
2023	fevereiro	2	3367	11790.439	193.452	adultrap	0
2023	março	2	3367	11790.439	193.452	adultrap	0
2023	abril	2	3367	11790.439	193.452	adultrap	0
2023	maio	2	3367	11790.439	193.452	adultrap	2
2022	dezembro	2	3367	11790.439	193.452	ovitrampa	557
2023	janeiro	2	3367	11790.439	193.452	ovitrampa	329
2023	fevereiro	2	3367	11790.439	193.452	ovitrampa	0
2023	março	2	3367	11790.439	193.452	ovitrampa	0
2023	abril	2	3367	11790.439	193.452	ovitrampa	0
2023	maio	2	3367	11790.439	193.452	ovitrampa	398
2022	dezembro	1	3528	9597.494	101.409	adultrap	5
2023	janeiro	1	3528	9597.494	101.409	adultrap	3
2023	fevereiro	1	3528	9597.494	101.409	adultrap	2
2023	março	1	3528	9597.494	101.409	adultrap	0
2023	abril	1	3528	9597.494	101.409	adultrap	0
2023	maio	1	3528	9597.494	101.409	adultrap	4
2022	dezembro	1	3528	9597.494	101.409	ovitrampa	1225
2023	janeiro	1	3528	9597.494	101.409	ovitrampa	110
2023	fevereiro	1	3528	9597.494	101.409	ovitrampa	503
2023	março	1	3528	9597.494	101.409	ovitrampa	442
2023	abril	1	3528	9597.494	101.409	ovitrampa	542
2023	maio	1	3528	9597.494	101.409	ovitrampa	627
2022	dezembro	1	3541	9490.939	382.466	adultrap	1
2023	janeiro	1	3541	9490.939	382.466	adultrap	3
2023	fevereiro	1	3541	9490.939	382.466	adultrap	1
2023	março	1	3541	9490.939	382.466	adultrap	0
2023	abril	1	3541	9490.939	382.466	adultrap	0
2023	maio	1	3541	9490.939	382.466	adultrap	0
2022	dezembro	1	3541	9490.939	382.466	ovitrampa	863
2023	janeiro	1	3541	9490.939	382.466	ovitrampa	106
2023	fevereiro	1	3541	9490.939	382.466	ovitrampa	335
2023	março	1	3541	9490.939	382.466	ovitrampa	306
2023	abril	1	3541	9490.939	382.466	ovitrampa	561

2023	maio	1	3541	9490.939	382.466	ovitrampa	137
2022	dezembro	1	3584	8950.373	269.754	adultrap	3
2023	janeiro	1	3584	8950.373	269.754	adultrap	0
2023	fevereiro	1	3584	8950.373	269.754	adultrap	0
2023	março	1	3584	8950.373	269.754	adultrap	0
2023	abril	1	3584	8950.373	269.754	adultrap	2
2023	maio	1	3584	8950.373	269.754	adultrap	0
2022	dezembro	1	3584	8950.373	269.754	ovitrampa	275
2023	janeiro	1	3584	8950.373	269.754	ovitrampa	0
2023	fevereiro	1	3584	8950.373	269.754	ovitrampa	270
2023	março	1	3584	8950.373	269.754	ovitrampa	226
2023	abril	1	3584	8950.373	269.754	ovitrampa	244
2023	maio	1	3584	8950.373	269.754	ovitrampa	73